

kroky výpočtu Bouguerovej anomálie

(tzv. korekcie/redukcie)

$$\Delta g_B = g - g_n + 0.3086h - 0.0419h\rho - B + T$$

g – namerané tiažové zrýchlenie (opravené o slapy a chod,
prepočítané na absolútne hodnoty)

g_n – normálne pole (tiažový účinok elipsoidu)

$0.3086h$ – tzv. Fayeova korekcia (redukcia) =
= korekcia (redukcia) “vo voľnom vzduchu“

$0.0419h\rho$ – účinok rovinnej nekonečnej (Bouguerovej)
dosky, tzv. Bouguerova korekcia (redukcia)

B – Bullardov člen: oprava účinku rovinnej dosky
na účinok sférickej orezanej dosky

(do vzdialenosťi 166.735 km od bodu výpočtu)

T – terénne korekcie (do vzdialenosťi 166.735 km)

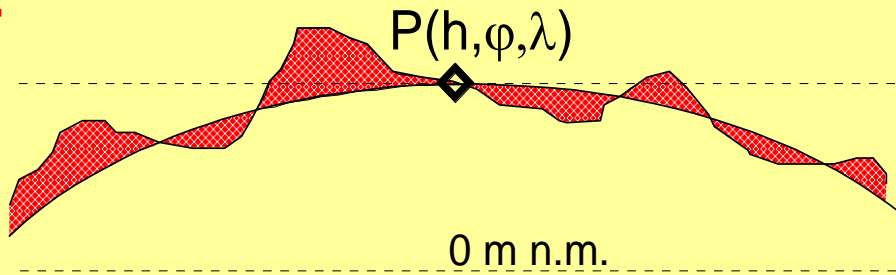
ρ – tzv. korekčná (redukčná) hustota, často 2.67 g.cm^{-3}

h – nadmorská výška výpočtového bodu

kroky výpočtu Bouguerovej anomálie

(tzv. korekcie/redukcie)

terénne korekcie



terénne korekcie "ošetrujú" dva dôležité prípady:

1. treba doplniť (pripočítať) gravitačný účinok výplní dolín, ktorý bol odrátaný pri odrátaní sférickej Bouguerovej dosky (rovinnej Boug. dosky a Bullard člena),
2. treba pripočítať gravitačný účinok kopcov, ktoré vo väčšine prípadov svojimi hmotami nad úrovňou bodu znižujú meranú tiaž (čiže ich vypočítaný účinok by mal mať kladné znamienko); pri "zanorených" kopcoch pod úroveň výšky meraného bodu ich účinok však bude mať opačné znamienko – záporné, takže pre menšie nadmorské výšky výpočtových bodov môžeme získať aj záporné hodnoty terénnych korekcií

základný princíp výpočtu terénnych korekcií

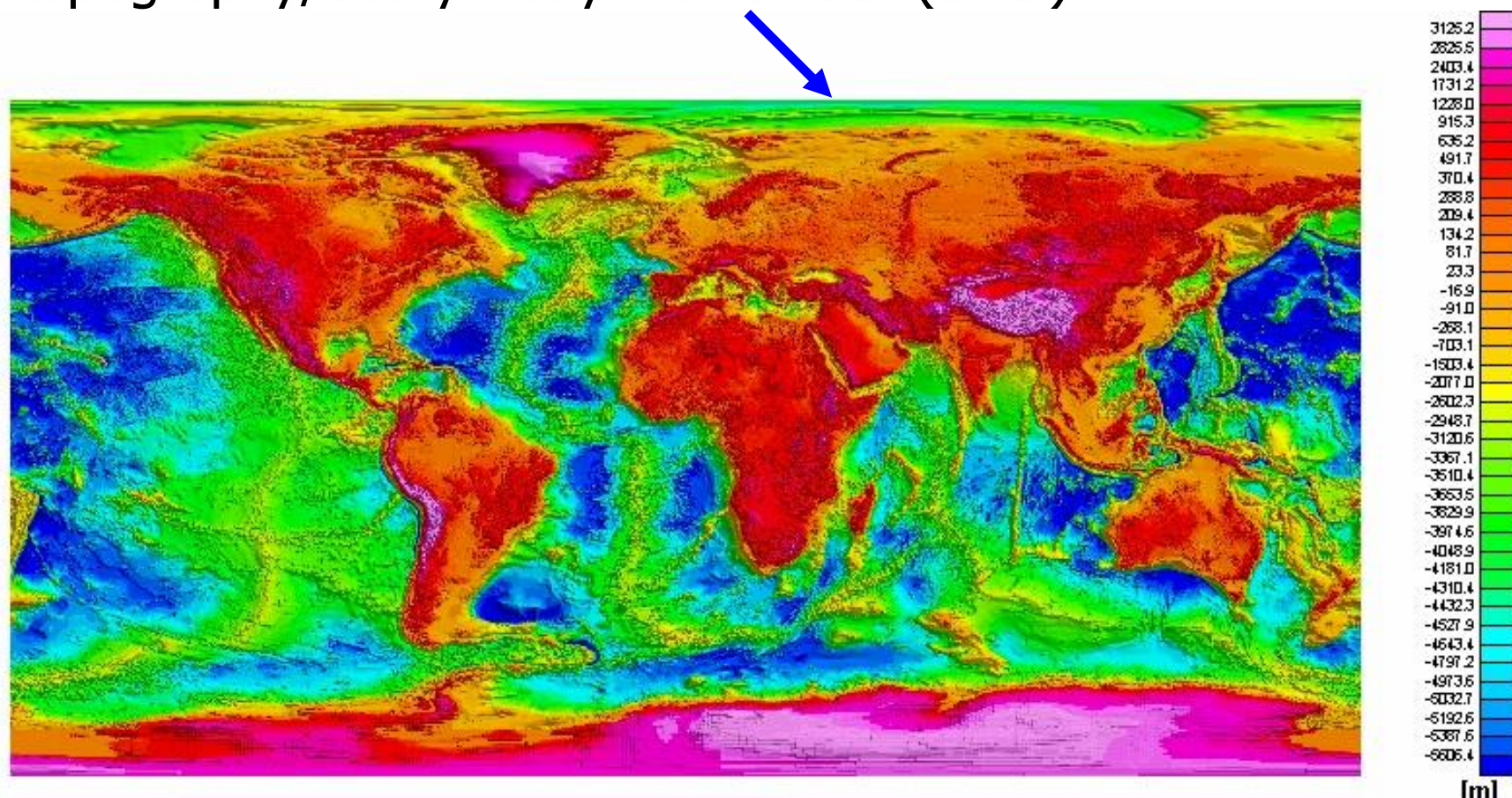
- reliéf (terén) v okolí výpočtového bodu sa nahradí jednoduchými geometrickými útvarami, ktorých gravitačný účinok vo výpočtovom bode sa sumuje,
- základné sú 3 veci:
 - a) použitý elementárny geometrický útvar,
 - b) usporiadanie týchto útvarov v okolí bodu (do zón, oblastí),
 - c) získanie výškovej informácie o reliefe.

staršie spôsoby pokladali na okolie bodu v mape paletku a z tabuľiek sa odčítali hodnoty gravitačných účinkov zodpovedajúcich segmentov a tie sa spočítavali (na kalkulačke), segmenty boli bud' rovinné (časti valca) alebo sférické (segmenty sférickej vrstvy)

novšie spôsoby pracujú s digitálnymi modelmi terénu (DTM) a výpočty sa realizujú na počítačoch; opäť môžu byť základné prvky rovinného alebo sférického tvaru

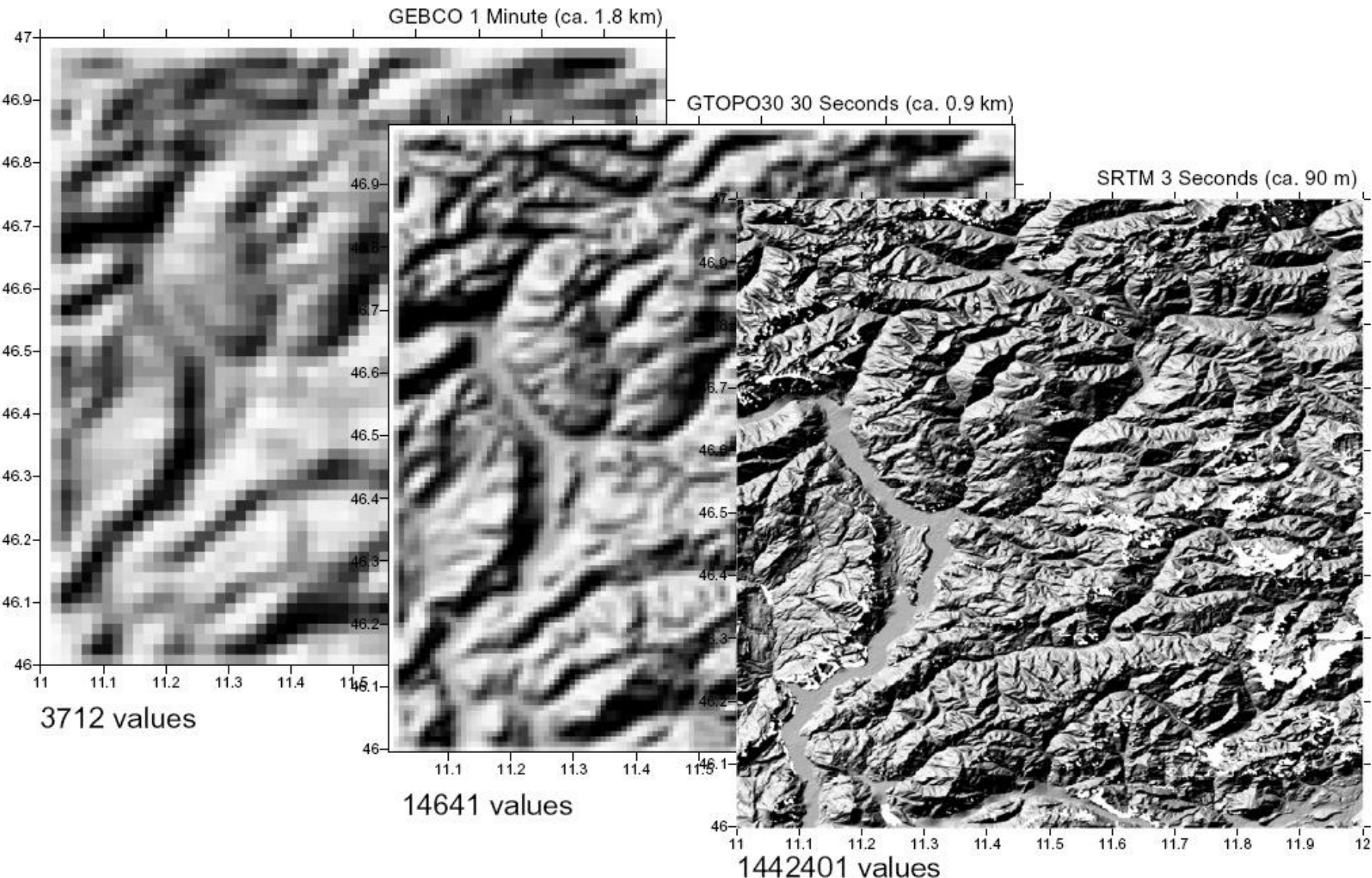
- nezávislý spôsob: využitie Fourierovej transformácie výškovej informácie

verejne dostupné digitálne modely terénu na nete:
(Digital Elevation Models - DEM):
topography – SRTM (2"x2")
topography – GTOPO30 (30"x30")
topography/bathymetry – ETOPO5 (5'x5')



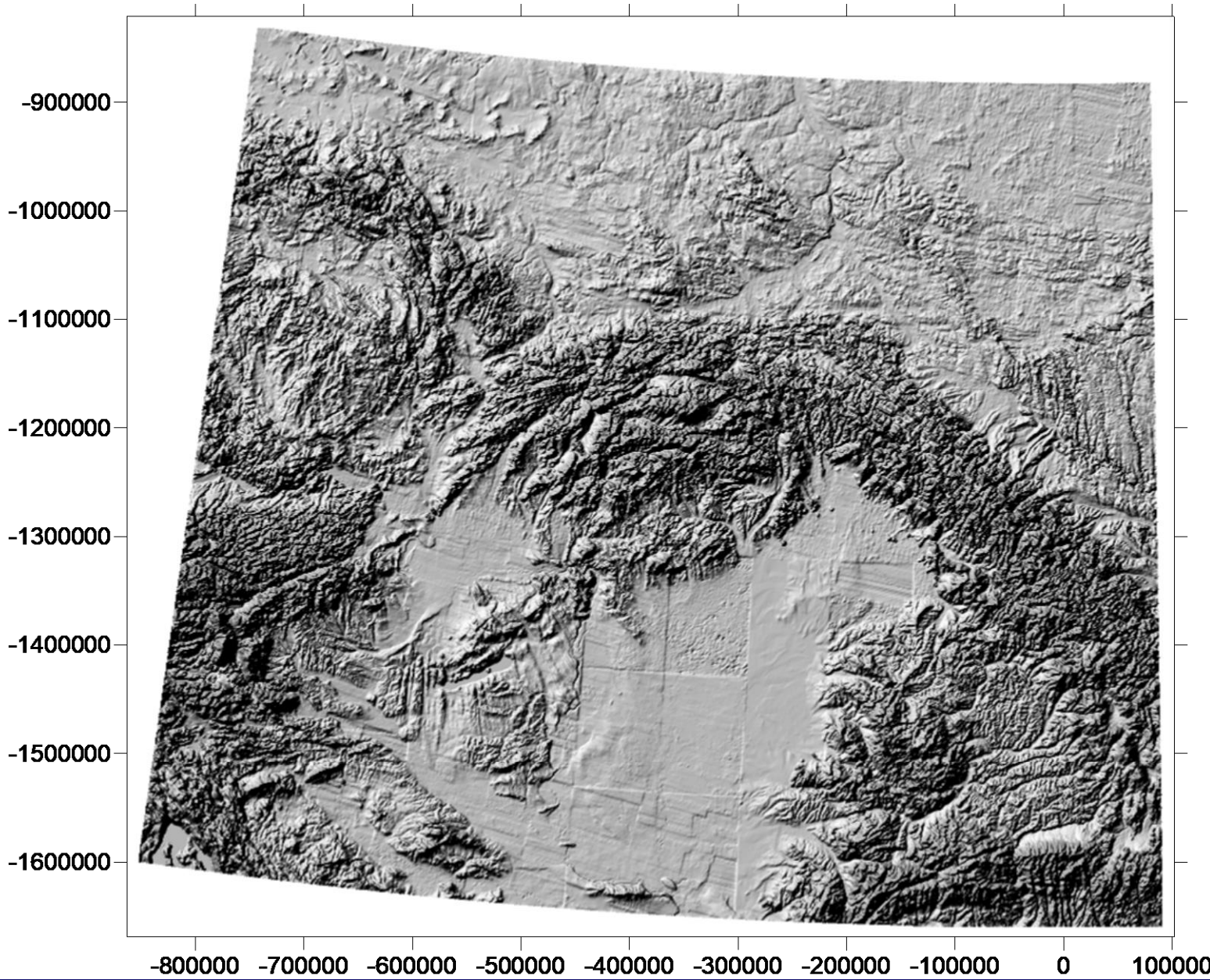
v súčasnosti – DEM z technológie LiDAR

príklady rôznych DTM (s rôznou detailnosťou)



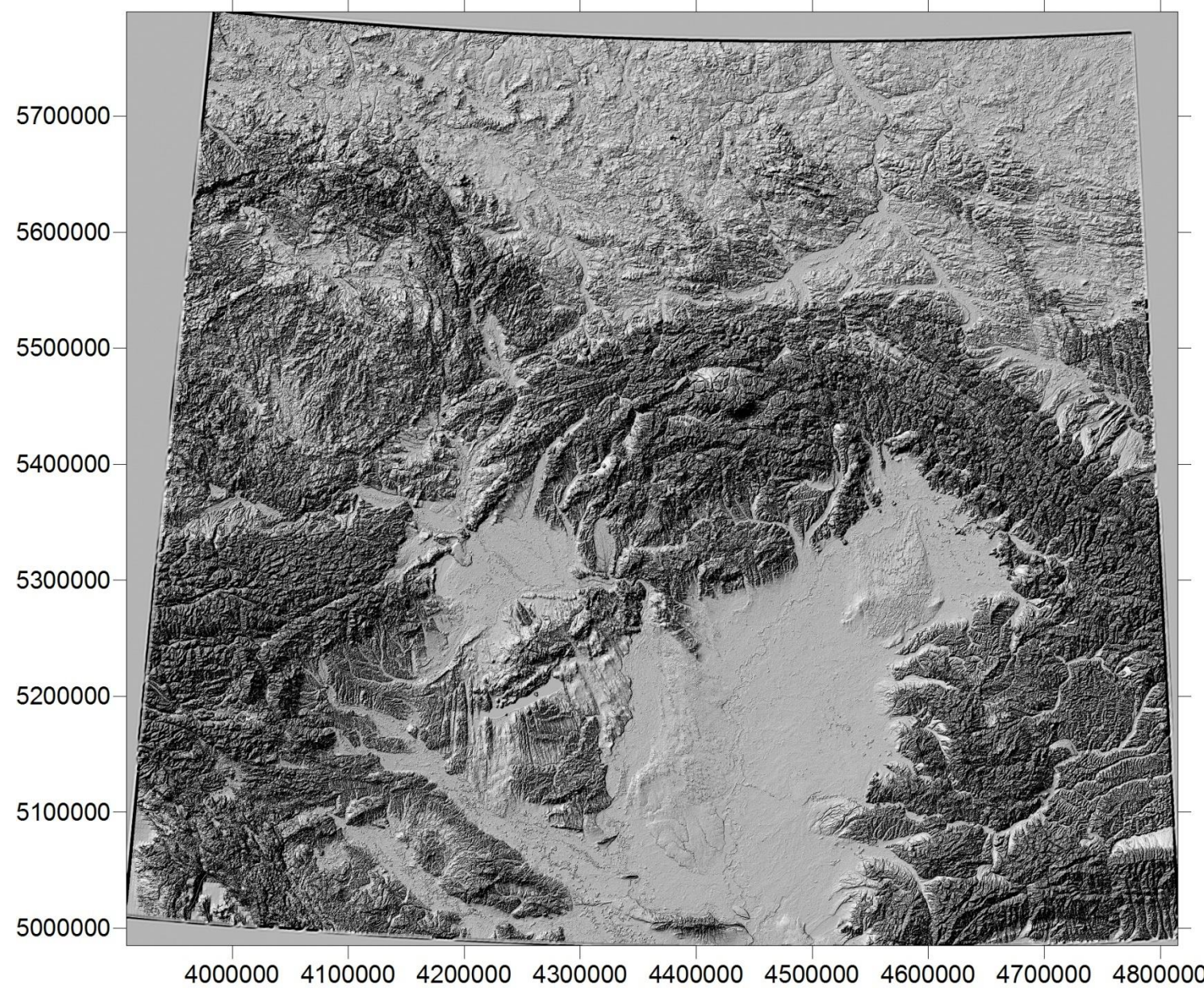
topography – GTOPO30 (30" x 30")

príklad - stredná Európa



topography – SRTM (2" x 2")

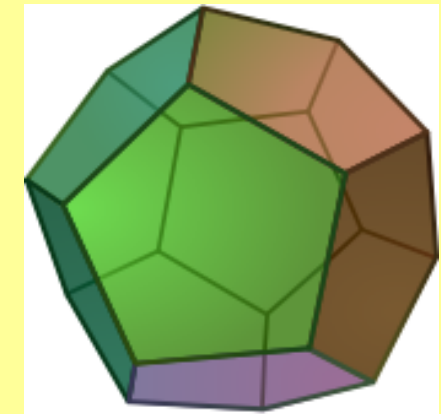
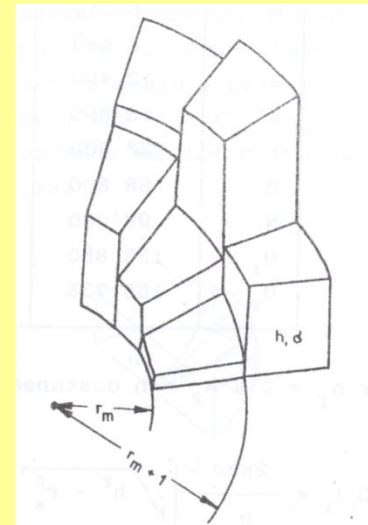
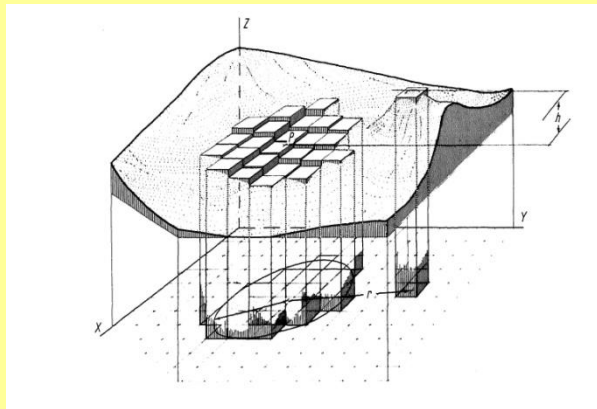
príklad - stredná Európa



základný princíp výpočtu terénnych korekcií

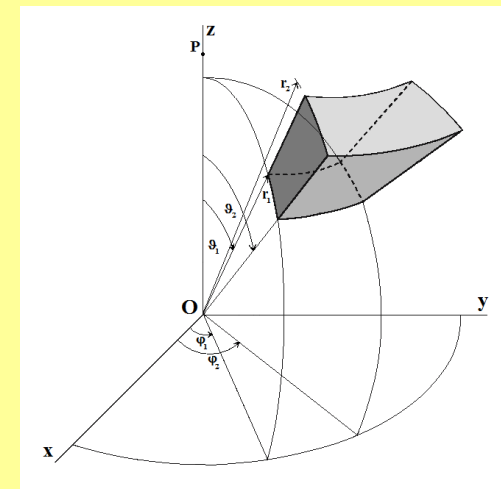
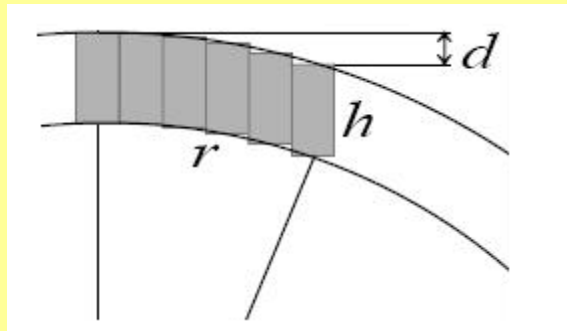
a) použitý elementárny geometrický útvar,
rovinná approximácia:

pravohlé hranoly, segmenty valca
3D mnohosteny (polyédre)



sférická approximácia:

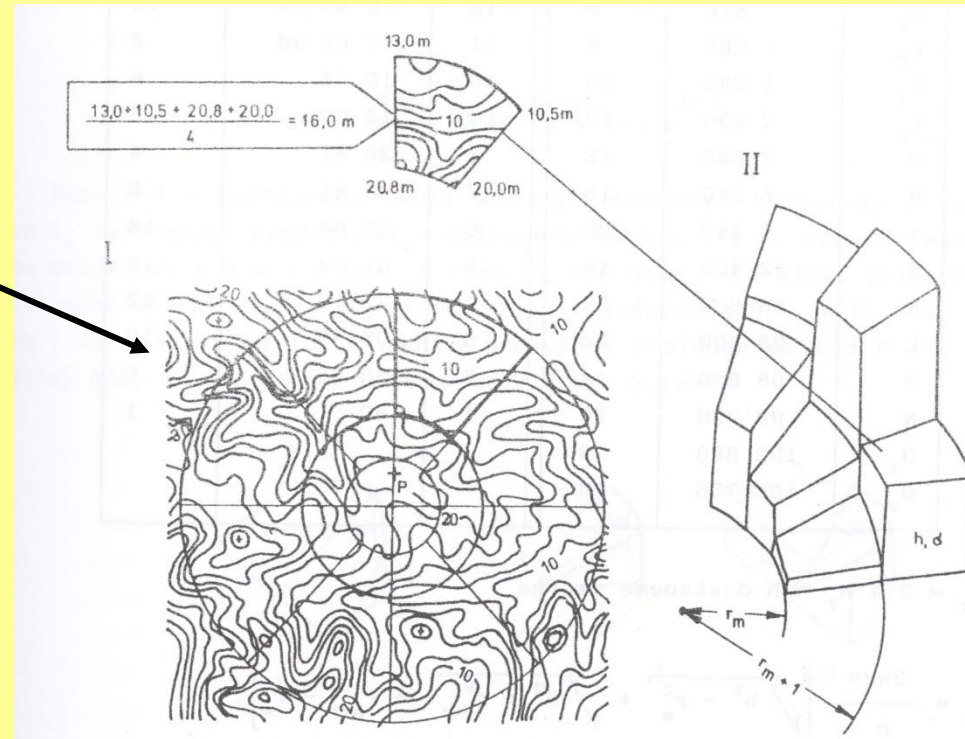
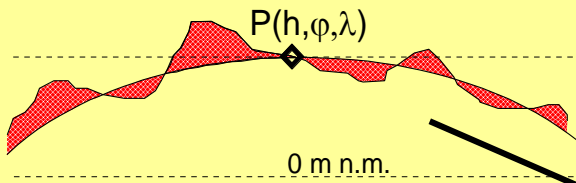
zanorené hranoly, segmenty sférickej vrstvy



rôzne spôsoby výpočtu terénnych korekcií

- klasický spôsob napĺňania sektorov paletky (Hayford-Bowie, 1912; Hammer, 1939)
- starší spôsob – Československá škola (Pick, Pícha, Vyskočil, 1960, 1973)
- "nový" spôsob, zadefinovaný v projekte „Atlas geofyzikálnych máp a profilov“ (Grand, Šefara, Pašteka, Bielik, Daniel, 2001)
- napĺňanie sférických sektorov – Geocomplex (Mikuška, Marušiak 2002)
- nezávislý spôsob – polygonálne hranoly, program Masscor (Cerovský 2001)
- najnovší spôsob (u nás) , zadefinovaný v projekte „Bouguer_NG“ – program Toposk (Marušiak a kol., 2012) – kombinácia rôznych prístupov
- Geodetický postup – numerické integrovanie na guli (Tenzer a kol., 2003, Janák, Mojzeš, 2003)
- komerčne používaný spôsob – softvérový balík Geosoft Oasis Monaj, modul Gravity &Terrain corrections
- spôsob, používaný v Rakúsku

klasický spôsob delenia okolia bodu – Hayford-Bowie (1912), Hammer (1939) - paletková (sektorová) metóda



Hayford-Bowie (1912):
okolie bodu je rozdelené na prstencové zóny a tie na viaceré
sektory (sú to vlastne segmenty sférickej vrstvy)

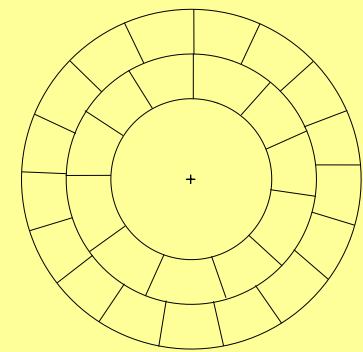
označené písmenami abecedy A až O₂ (po uhol $\theta \approx 1.5^\circ$)
a ďalej číslami od 18 po 1 (od uhlu $\theta \approx 1.5^\circ$ po 180°)

klasický spôsob delenia okolia bodu – Hayford-Bowie (1912)

Table 1.

Radii of Hayford's zones.

Zone	Outer radius	No. of sectors	Zone	Outer radius	No. of sectors
A	2 m	1	18	1°41'13"	1
B	68	4	17	1 54 52	1
C ₁	130	4	16	2 11 53	1
C ₂	230	4	15	2 33 36	1
D ₁	380	6	14	3 03 05	1
D ₂	590	6	13	4 19 13	16
E ₁	870	8	12	5 46 34	10
E ₂	1 280	8	11	7 51 30	8
F ₁	1 680	10	10	10 44	6
F ₂	2 290	10	9	14 09	4
G	3 520	12	8	20 41	4
H	5 240	16	7	26 41	2
I	8 440	20	6	35 58	18
J	12 400	16	5	51 04	16
K	18 800	20	4	72 13	12
L	28 800	24	3	105 48	10
M	58 800	14	2	150 56	6
N	99 000	16	1	180	1
O ₁	132 850	28			
O ₂	166 735	28			



tabuľka č.2.3:
(str. 30 skript)
- označenie zóny,
vonkajší polomer
(v metroch a ďalej
v stupňoch),
počet sektorov

***starší spôsob zavádzania terénnych korekcií
v bývalom Československu, Pick, Pícha, Vyskočil (1960)***

do roku 1983

blízka a vzdialená zóna: $T_{5.24\text{km}}$ a $T_{166.735\text{km}}$

manuálne výpočty pomocou máp a paletiek

($T_{5.24\text{km}}$: mapy v 1:25 000, neskôr 1:10 000)

($T_{166.735\text{km}}$: špeciálne mapy v 1:200 000 + nomogramy)

po roku 1983

blízka, stredná a vzdialená zóna: $T_{250\text{m}}$, $T_{5.24\text{km}}$ a $T_{166.735\text{km}}$

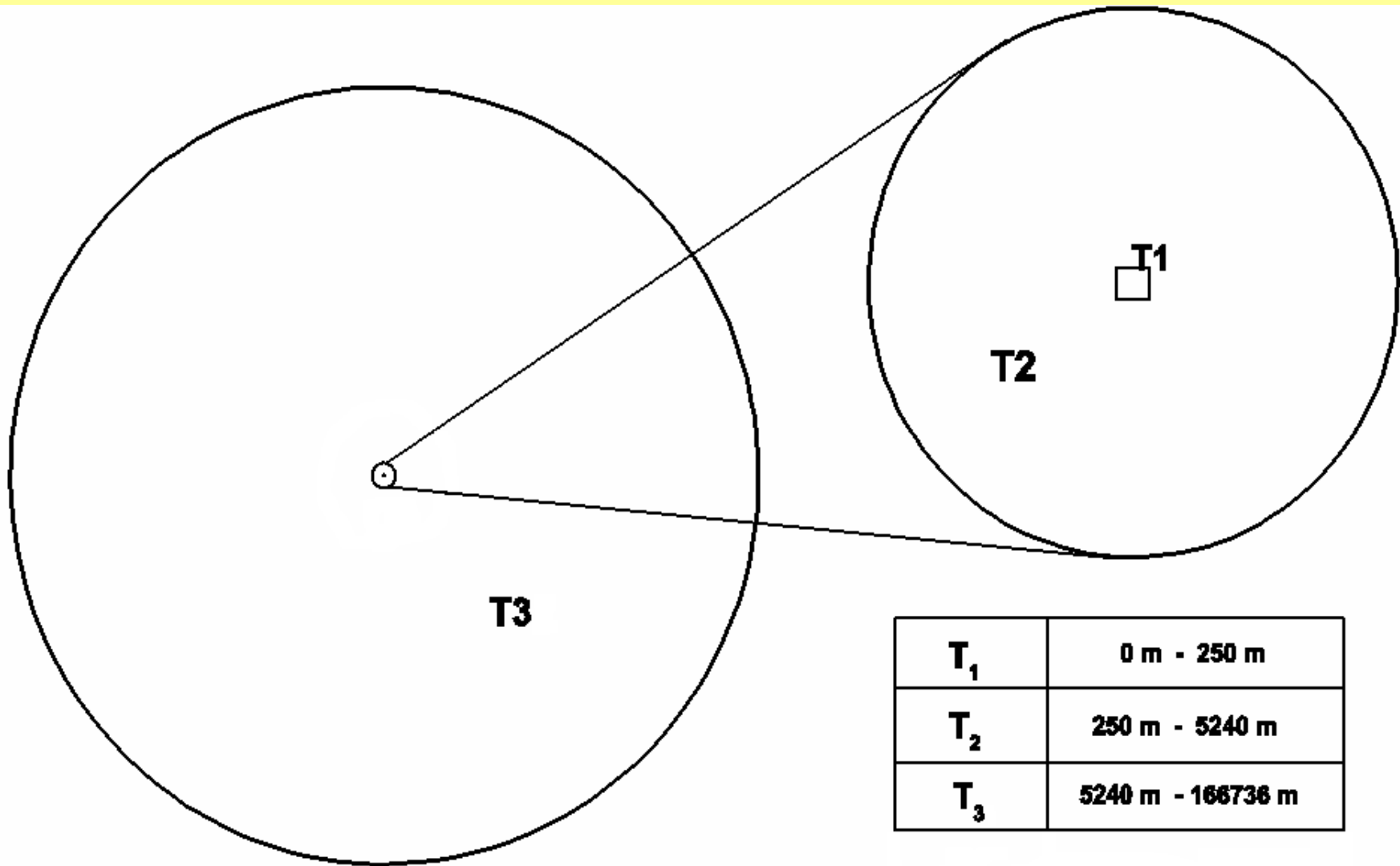
označované ďalej ako T_1 , T_2 a T_3

T_1 : ručne – paletkami

T_2 : počítačovo (siet' 100x100m prav. hranoly)

T_3 : ručne - špeciálne mapy v 1:200 000 + nomogramy

rozdelenie okolia výpočtového bodu na jednotlivé zóny



***starší spôsob zavádzania terénnych korekcií
v bývalom Československu, Pick, Pícha, Vyskočil (1960)***

T₁ – špeciálne paletky, prvé 2 zóny Hayford-Bowieho paletky sú zlúčené spolu (A-B) a v tabuľke (str. 32, skriptá) sa nájde hodnota podľa typu terénu (pravidelné svahy, nepravidelné svahy a vyduté tvary-kopy, sedlá, doliny – obr. 2.16 na str. 31 v skriptách)

T₂ – počítačovo (zväčšujú sa rozmery pravouhlých hranolov 100x100m, 300x300m, 700x700m – obr. 2.17, str. 33 v skr.)

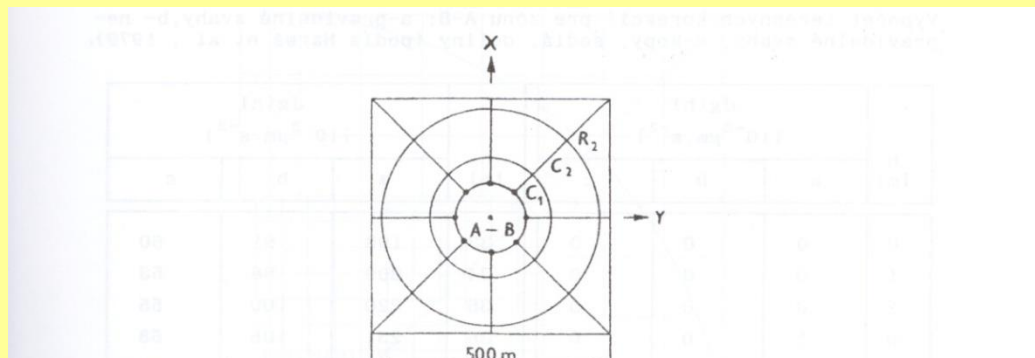
T₃ – špeciálny spôsob:

$$T_3 = F(\varphi, \lambda) + f(h),$$

F(φ, λ) - plošne závislá zložka (mapy v M 1:200 000)
f(h) - výškovo závislá zložka (grafy, nomogramy)

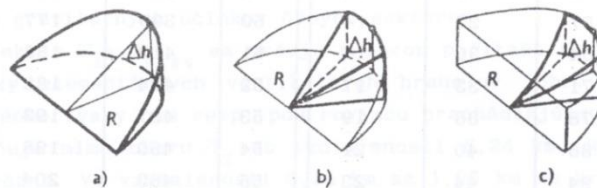
T₁ - starší spôsob zavádzania terénnych korekcií v bývalom Československu, Pick, Pícha, Vyskočil (1960)

T₁ – špeciálne paletky, prvé 2 zóny Hayford-Bowieho paletky sú zlúčené spolu (A-B) a v tabuľke (str. 32, skriptá) sa nájde hodnota podľa typu terénu (pravidelné svahy, nepravidelné svahy a vyduté tvary-kopy, sedlá, doliny – obr. 2.16 na str. 31 v skriptách)



Obr. 2.15 Zóna T₁ a jej rozdelenie na sektory.

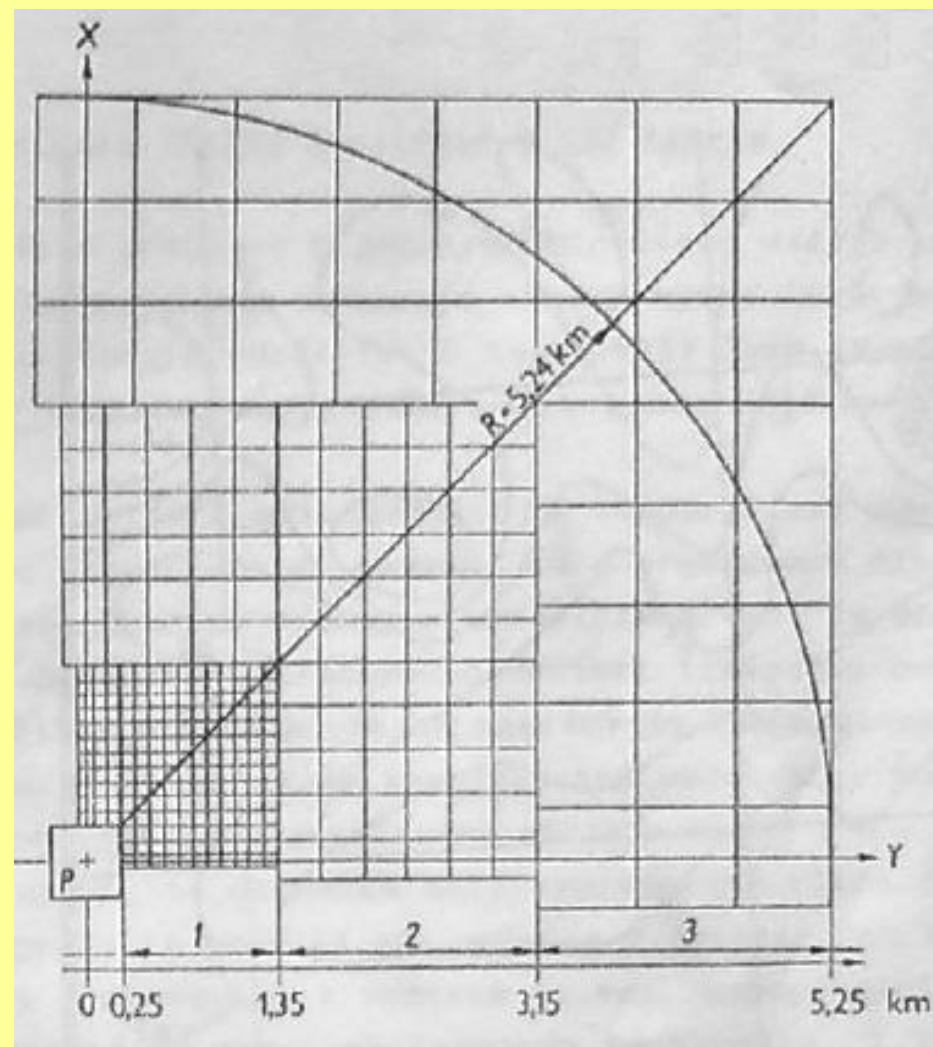
Zóna A-B v najbližšom okolí bodu je obmedzená kružnicou polomeru 68 m, zóna C₁ leží medzi kružnicami s polomerom 68 m a 130 m, zóna C₂ medzi kružnicami polomerov 130 m a 230 m, a zóna R₂ vyplňuje ostávajúci priestor štvorca. Gravitačné účinky jednotlivých sektorov príslušných zón C₁ a C₂, R₂ sú tabuľované v závislosti na ich strednom prevýšení vzhľadom na bod P. Korekcie centrálnej zóny sa určujú pomocou modelov (obr. 2.16).



Obr. 2.16 Modely pre výpočet terénnnej korekcie.

*T₁ - starší spôsob zavádzania terénnych korekcií
v bývalom Československu, Pick, Pícha, Vyskočil (1960)*

T₂ – počítačovo (zväčšujú sa rozmery pravouhlých hranolov 100x100m, 300x300m, 700x700m – obr. 2.17, str. 33 v skr.)

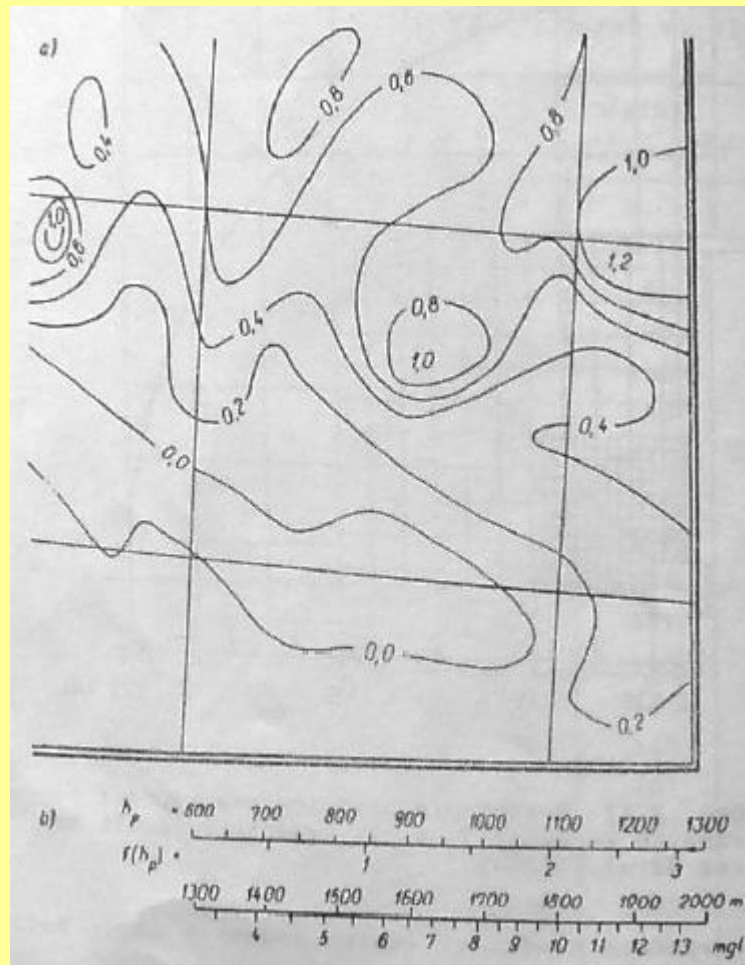


T₁ - starší spôsob zavádzania terénnych korekcií v bývalom Československu, Pick, Pícha, Vyskočil (1960)

T_3 – špeciálny spôsob: $T_3 = F(\varphi, \lambda) + f(h)$,

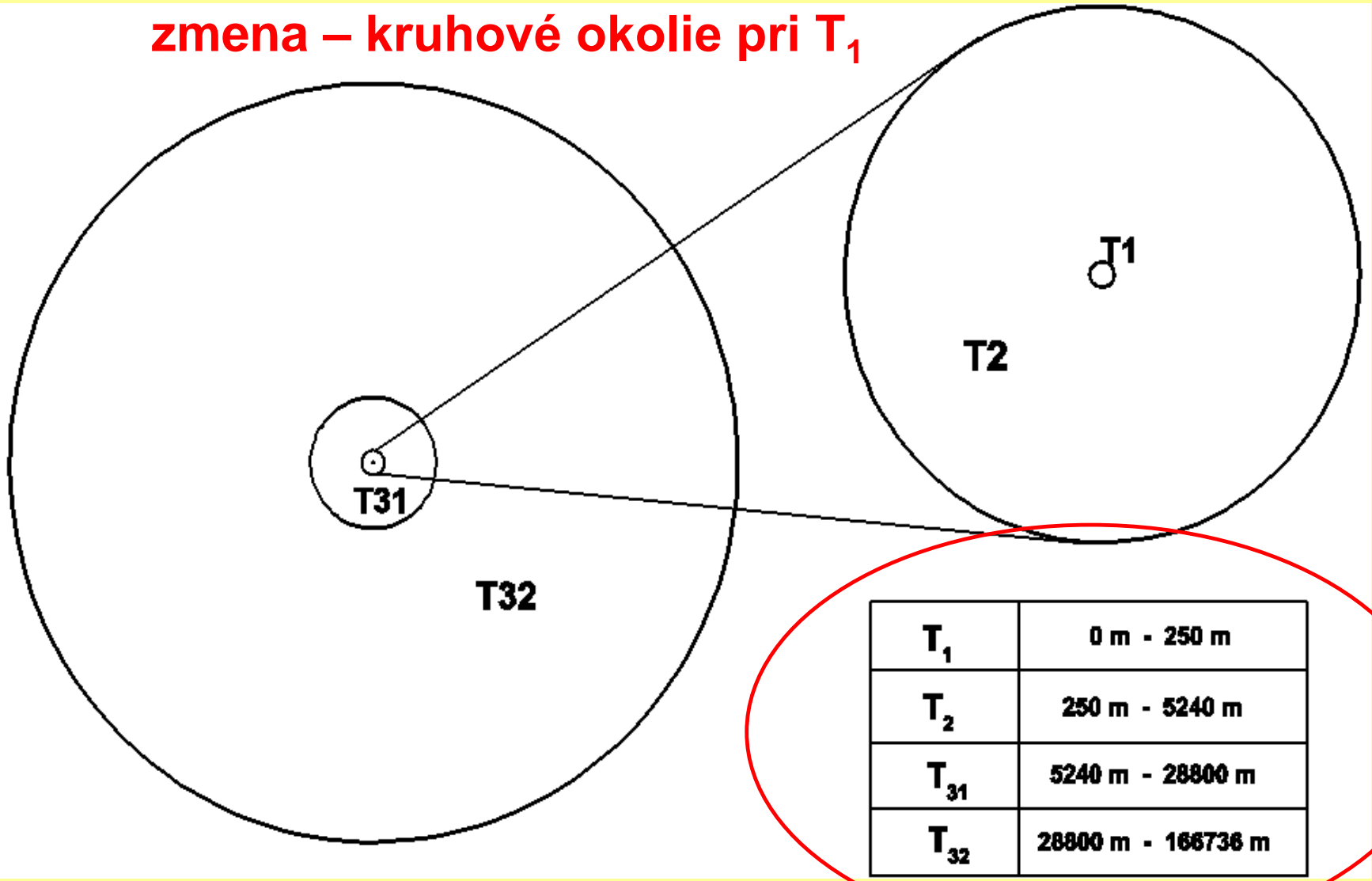
$F(\varphi, \lambda)$ - plošne závislá zložka (mapy v M 1:200 000)

$f(h)$ - výškovo závislá zložka (grafy, nomogramy)



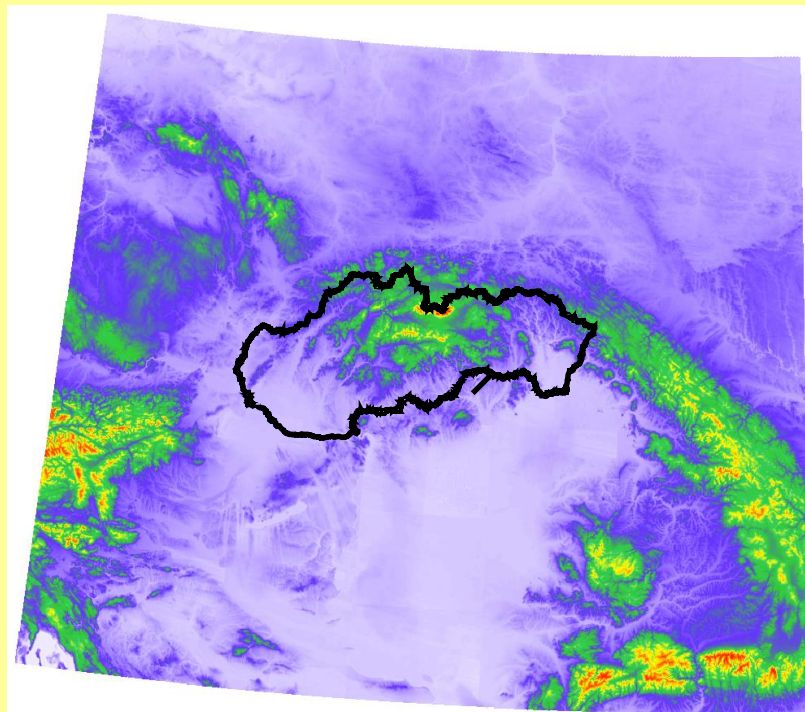
rozdelenie okolia výpočtového bodu na jednotlivé zóny (prístup v rámci projektu „Atlas geof....“)

zmena – kruhové okolie pri T_1

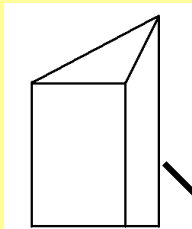


použité elementárne útvary a ich rozmery

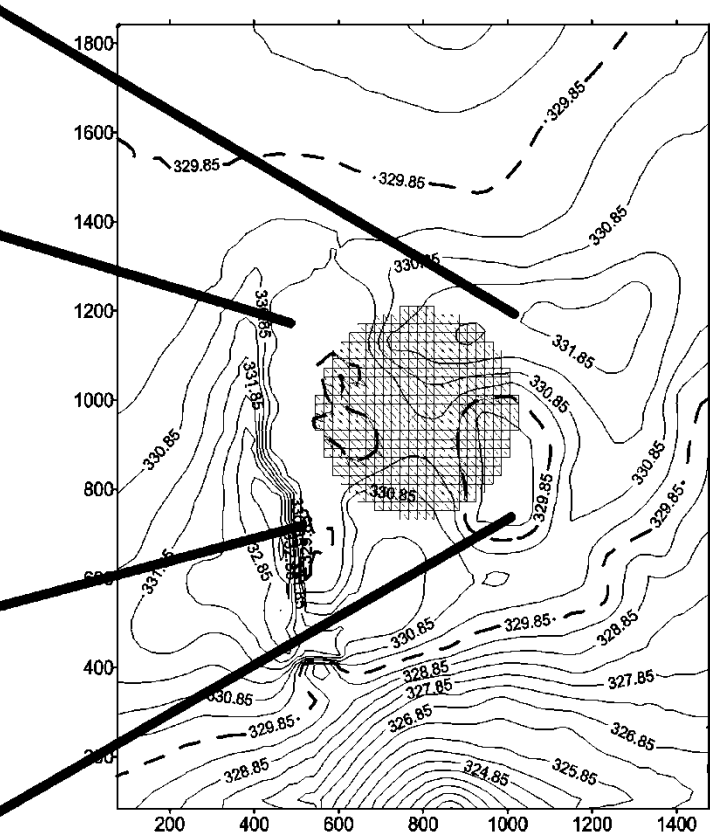
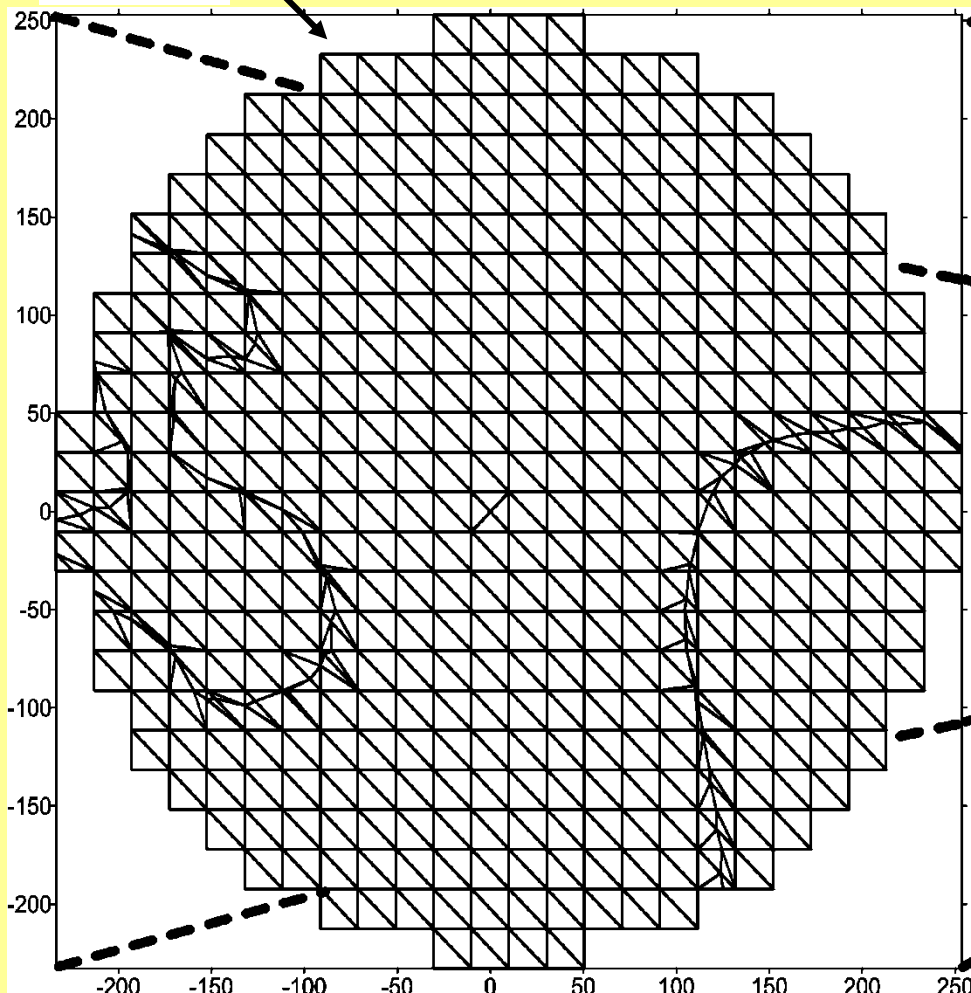
zóna	rozmer bunky gridu	element. blok	použitý zdroj DEM
T1	20 m x 20 m	trojuh. hranol	DTM 1:50 000
T2	50 m x 50 m	pravouhl. hranol	DTM 1:50 000
T31	250 m x 250 m	zanor. pravouhl. hranol	DTM 1:50 000
T32	1000 m x 1000 m	zanor. pravouhl. hranol	GTOPO 30"x30"



spôsob „Atlas geof....“

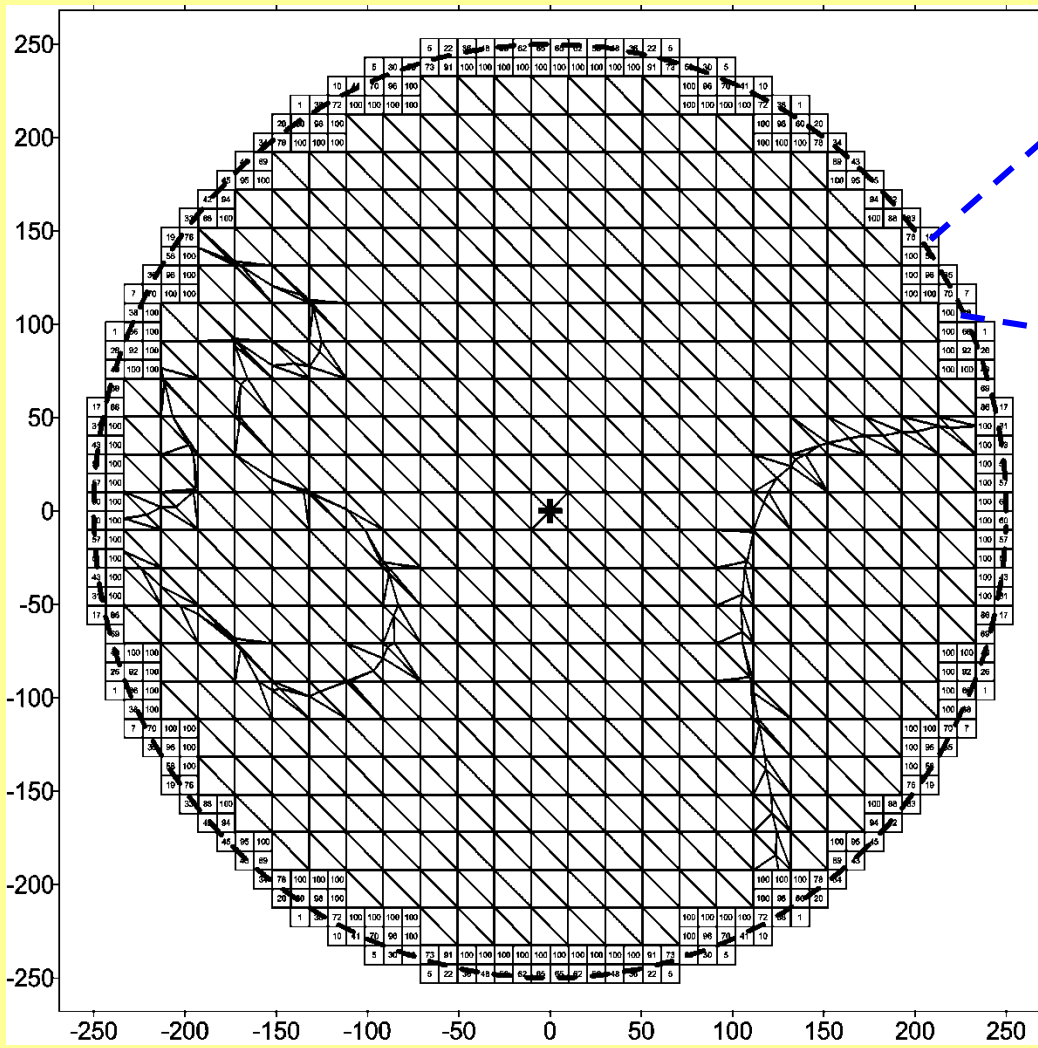


rozdelenie najbližšieho okolia výpočtového bodu (T_1) na vertikálne hranoly s trojuholníkovou podstavou



spôsob „Atlas geof....“

ošetrenie prechodov na kruhových okrajov medzi jednotlivými zónami ($T_1 - T_2$, $T_2 - T_{31}$ a $T_{31} - T_{32}$)



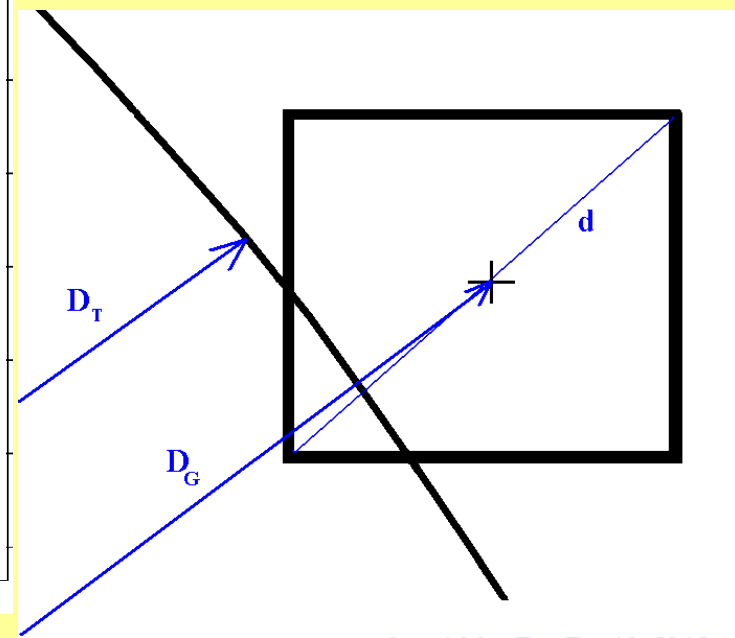
detail:

outside area of the zone

83	39
100	86
100	100
100	100

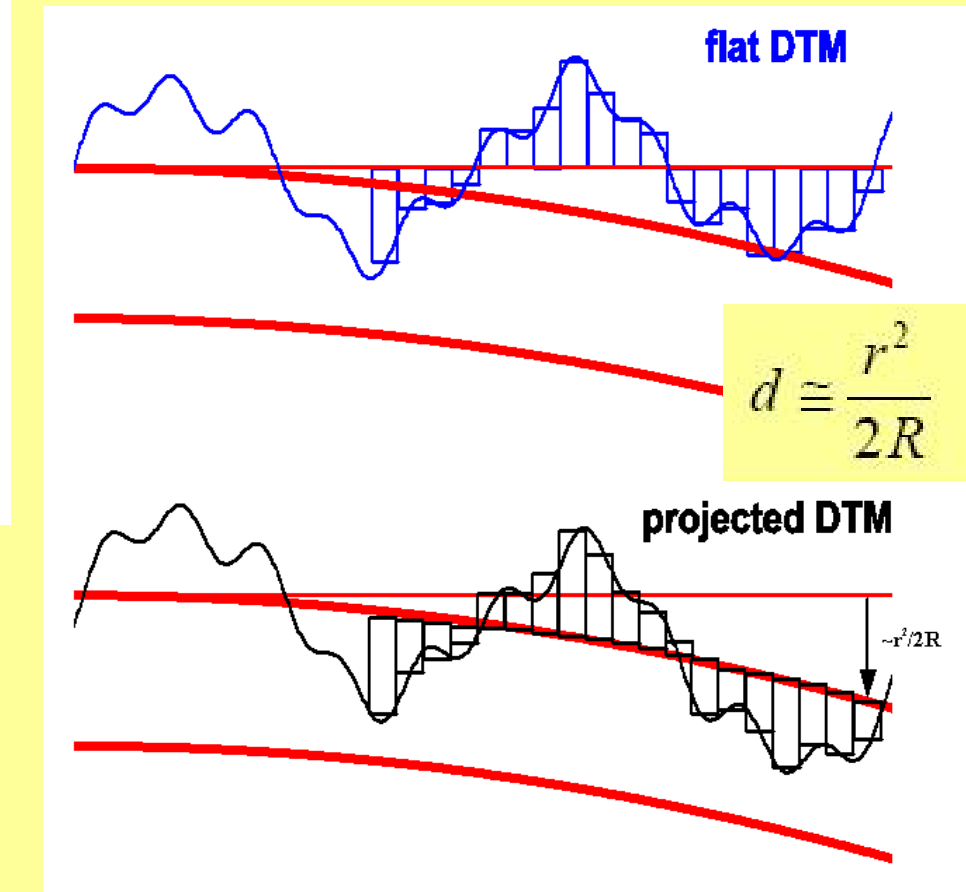
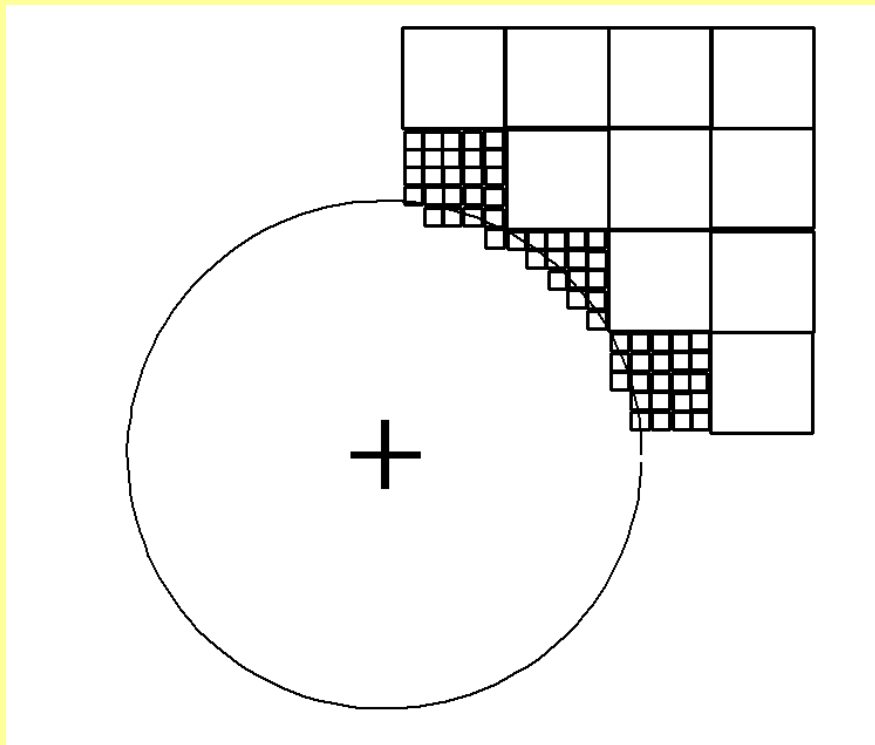
41
82
19

percentuálne príspevky



spôsob „Atlas geof....“

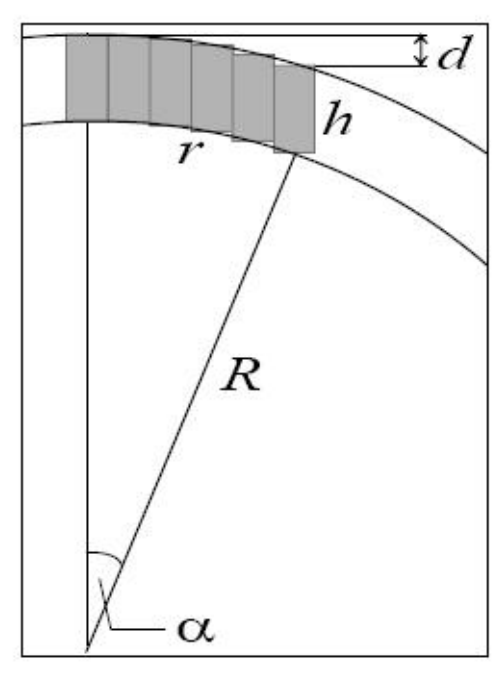
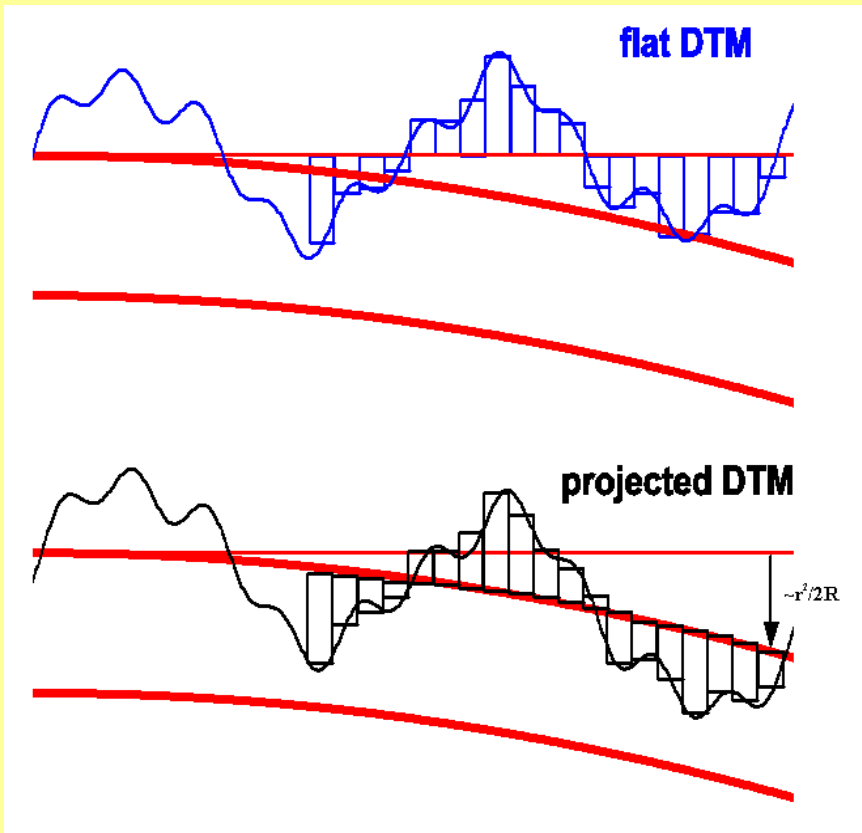
delenie gridu na pravouhlé hrany pri vzdialenejších zónach (T_2 , T_{31} a T_{32}) a ich vertikálne zanorovanie



r - vzdialenosť stredu segmentu od bodu výpočtu,
 R – polomer gule pri sférickej approximácii Zeme.

spôsob „Atlas geof....“

delenie gridu na pravouhlé hrany pri vzdialenejších zónach (T_2 , T_{31} a T_{31}) a ich vertikálne zanorenie

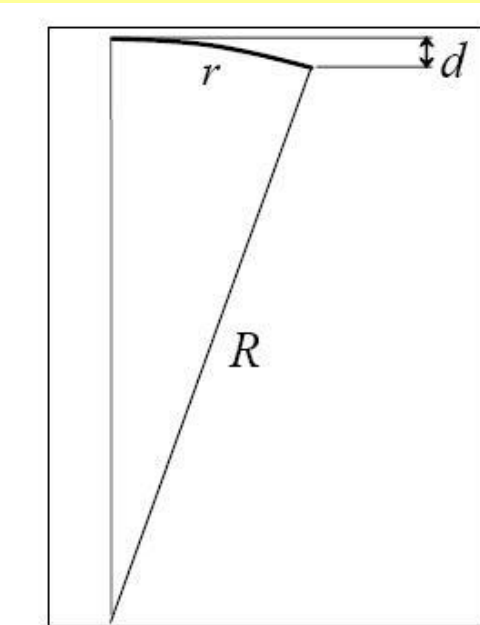
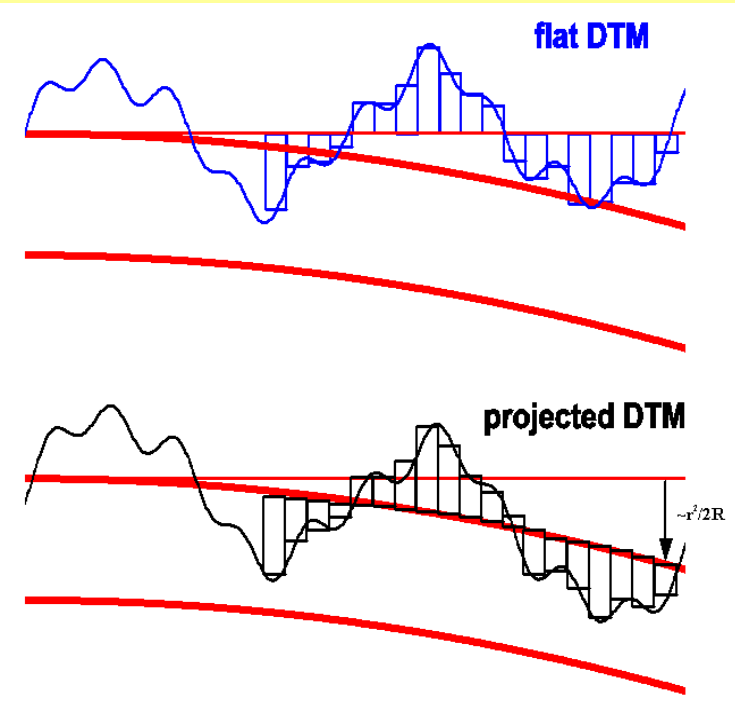


$$d \approx (R + h) - (R + h)\cos \alpha = \\ = (R + h)(1 - \cos \alpha)$$

Taylorov rad, $\cos \alpha = 1 - \frac{\alpha^2}{2} + \dots = 1 - \frac{r^2}{2R^2} + \dots$
 (z definicie priest. uhla vyplýva: $\alpha = \frac{r}{R}$)

spôsob „Atlas geof....“

delenie gridu na pravouhlé hrany pri vzdialenejších zónach (T_2 , T_{31} a T_{32}) a ich vertikálne zanorenie



r [km]	d [m]
11.1	10
22.2	39
44.5	155
89	622
167	2189

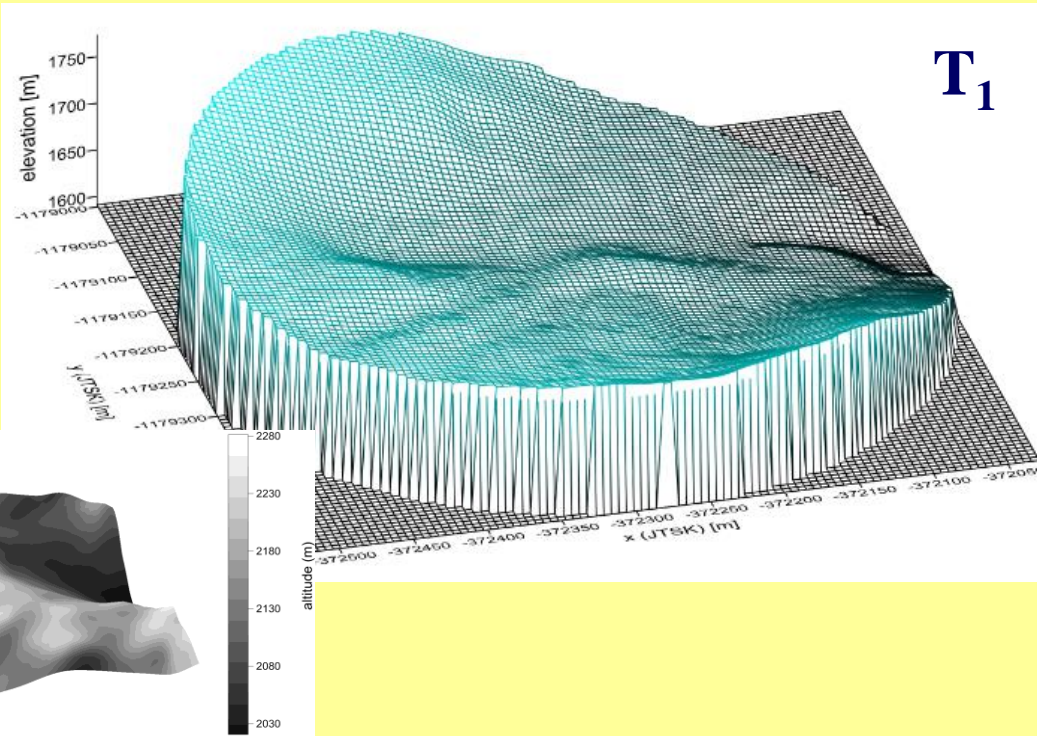
$$d \approx (R + h) \left(\cancel{1} - \cancel{1} + \frac{r^2}{2R^2} \right) = \\ = (R + h) \frac{r^2}{2R^2} \approx (R) \frac{r^2}{2R^2} = \frac{r^2}{2R}$$

súčasný spôsob u nás – program Toposk

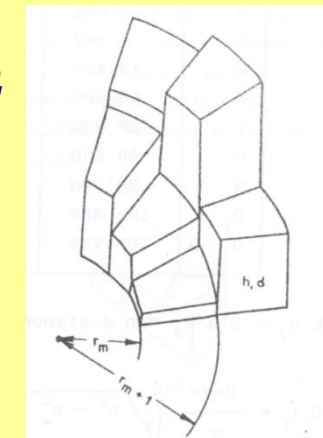
**T₁ – celý povrch v okolí 250 m je nahradený jedným polyédrom
(okraj telesa je riešený samostatne),
výška bod výpočtu je interpolovaná (len pre túto zónu)**

**T₂ – dva spôsoby: buď napĺňanie segmentov valca alebo sumácia
polyédrov s trojuholníkovou podstavou**

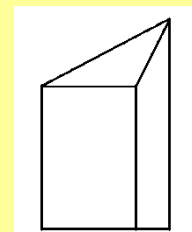
**T₃₁ a T₃₂ dva spôsoby: buď napĺňanie segmentov sférickej vrstvy
alebo sumácia polyédrov s trojuholníkovou podstavou
(premetnuté na sférickú plochu)**



T₁

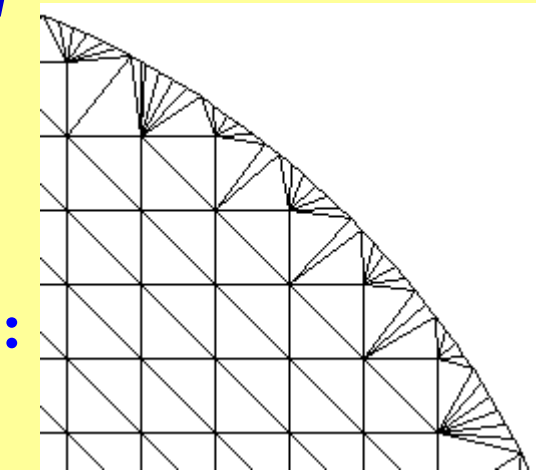
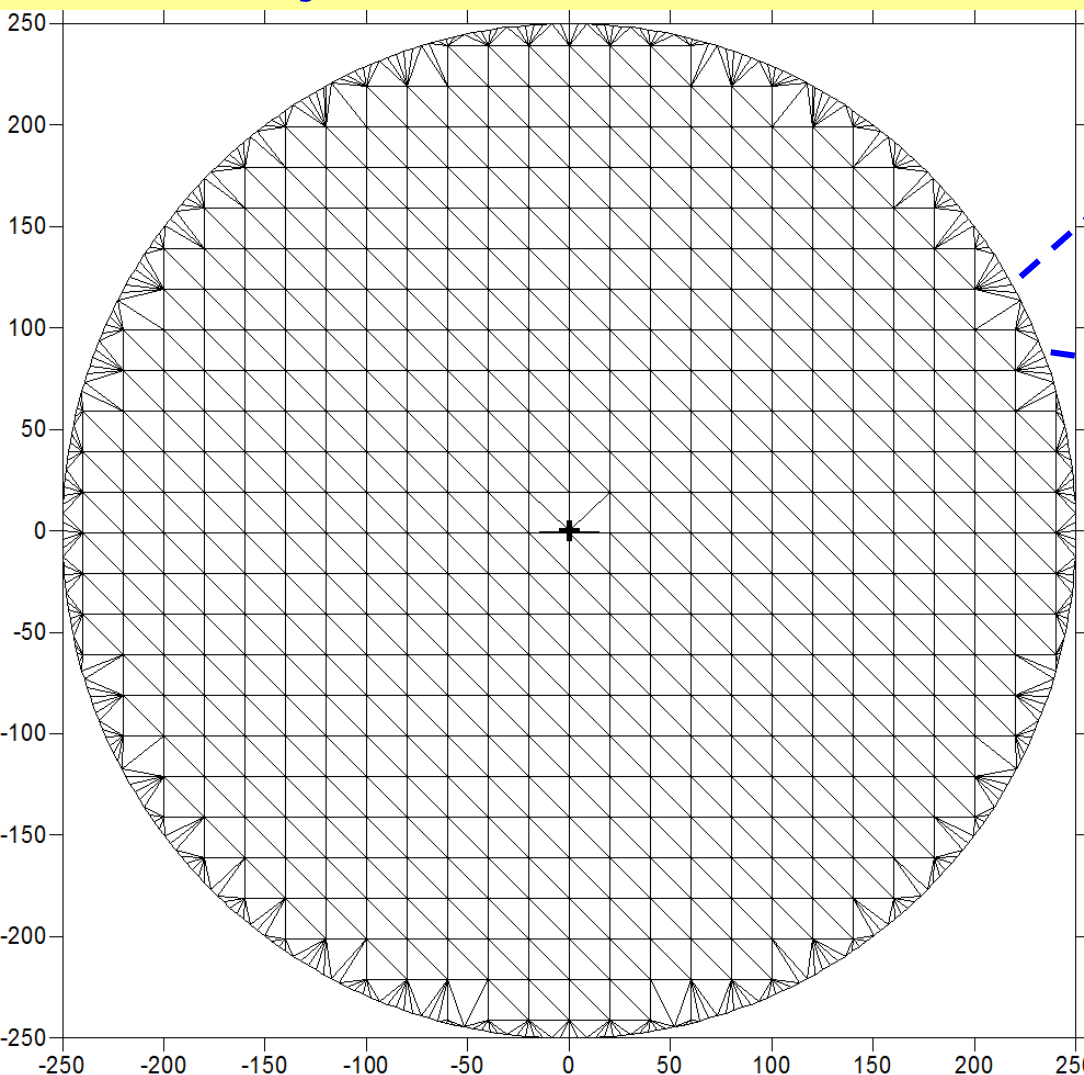


T₂



súčasný spôsob u nás – program Toposk

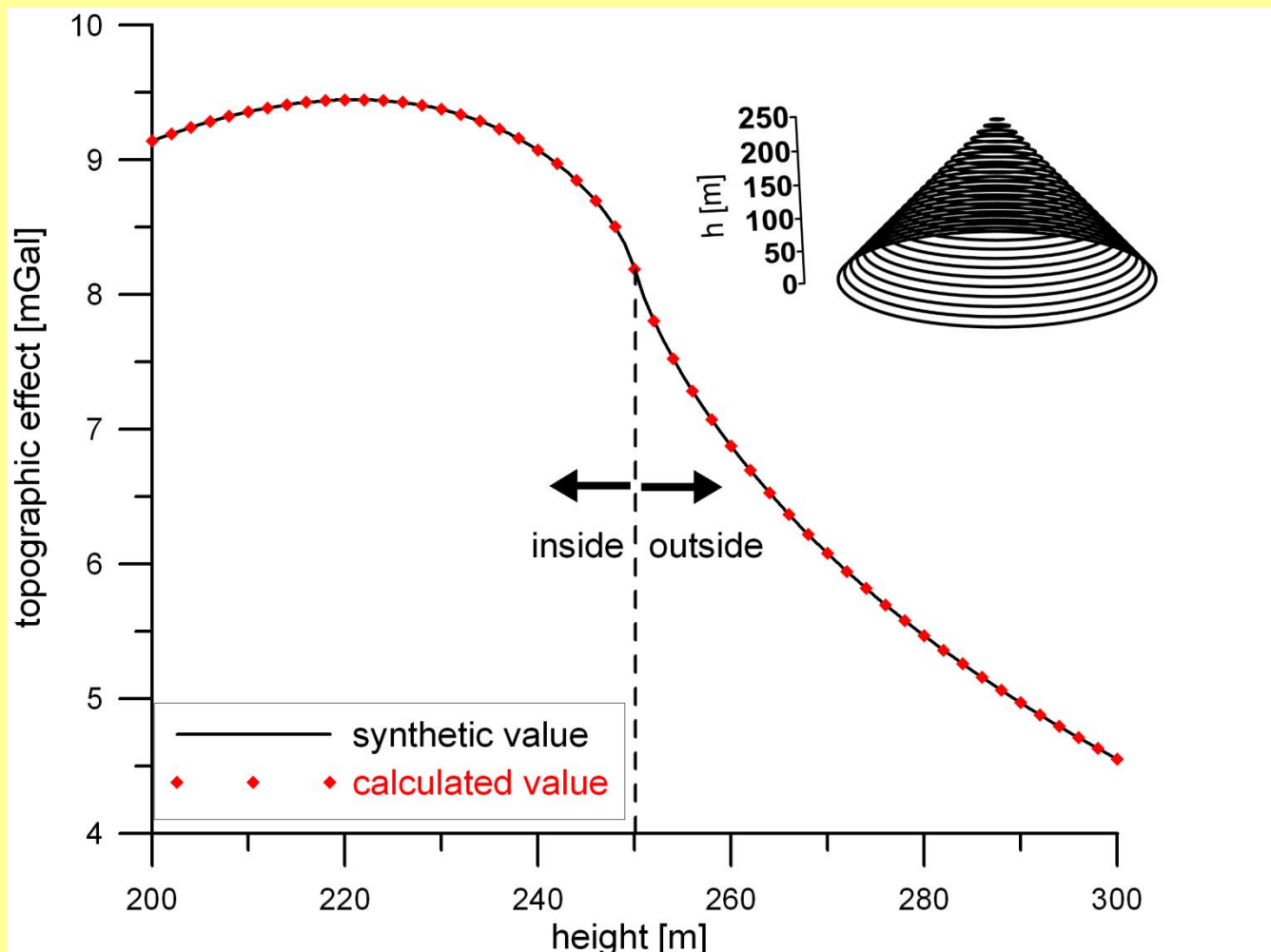
*iný spôsob ošetrenia prechodu na kruhovom
okraji medzi zónami T_1 a T_2*



**rozdelenie priestoru okrajových
(preťatých) trojuholníkov
na ďalšie menšie, ktorých
jedna strana leží na kružnici
(ovzorkovanéj s krokom 1 stupeň)**

súčasný spôsob u nás – program Toposk

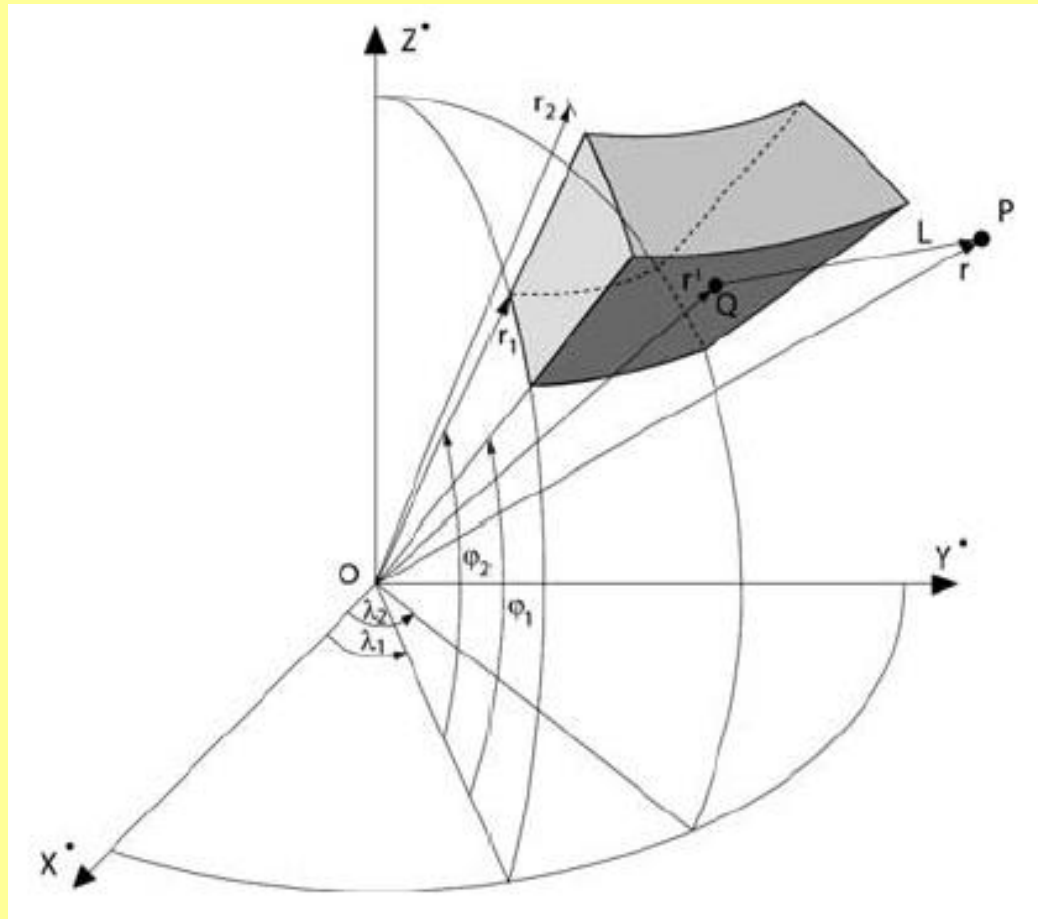
T1 – prístup testovaný na idealizovaých telesách (kužel a paraboloid)



prístup je schopný počítať korekciu aj vo vnútri hmôt
(zohľadňovať hmoty nad bodom výpočtu)

súčasný spôsob u nás – program Toposk

zóny T₃₁ a T₃₂ nie sú počítané pomocou vertikálne zanorených pravouhlých hranolov, ale na základe účinkov segmentov sférickej vrstvy



Program používa vzorec autorov
Mikuška et al. (2006)

Alternatívny výpočet je pomocou
polyédrov (korektne premietnutých
na sférickú plochu)

pracovné rozhranie programu Toposk

Toposk64

Data
Data file (x,y,point,h) C:\geofyzika\atopokor\calc\toposk\detaily4.xyz
Density grid [g.cm⁻³] Data coordinates JTSK03 (x,y)
Const density [g.cm⁻³] 1 Grid coordinate JTSK03 (x,y)
 Don't check range for synthetic models

T1(0 - 250m) T2(250 - 5240m) T31(5240 - 28800m) T32(28800 - 166735m)

Elevation grid C:\geofyzika\atopokor\calc\toposk\SR_GEO_30m_JTSK.grd Grid format Geosoft DOS
Or use toposk database kuzel1.db3
Grid/Database coordinates JTSK03 (x,y)

Increment parameters: +- points around point of calc height 0 for Increment [m] 0
Zone boundaries: Segment size [m] 30 Outer distance [m] 5240
Subzone boundaries [m], semicolon delimited
Fixed inner distance for subzone

Calculation method
 Template method Polyhedral body
Use interpolated height Density type Density grid Const density Interpolation method Bilinear interpolation

Calc
 Calc T1 Calc T2 Calc T31 Calc T32

Database management



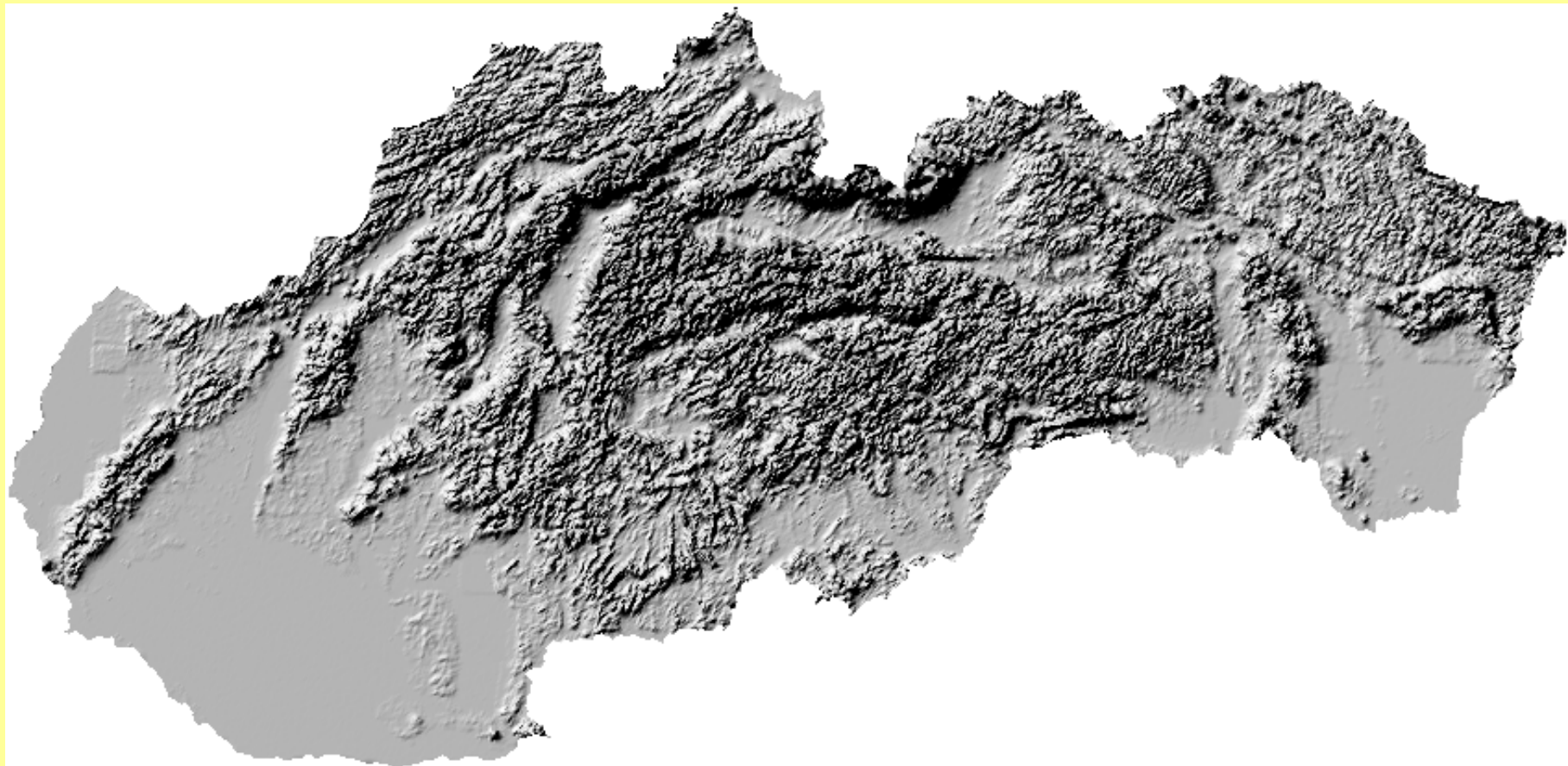
Štatistika vypočítaných terénnych korekcií pre územie SR (projekt „Atlas geof. máp a profilov“, rok 2000)

	minim.	maxim.	range	mean
zone T ₁	0	4.077	4.077	0.258
zone T ₂	0	27.840	27.840	1.152
zone T ₃₁	0	11.529	11.529	0.415
zone T ₃₂	-0.195	6.002	6.197	0.233
total T	-0.192	40.856	41.049	2.058

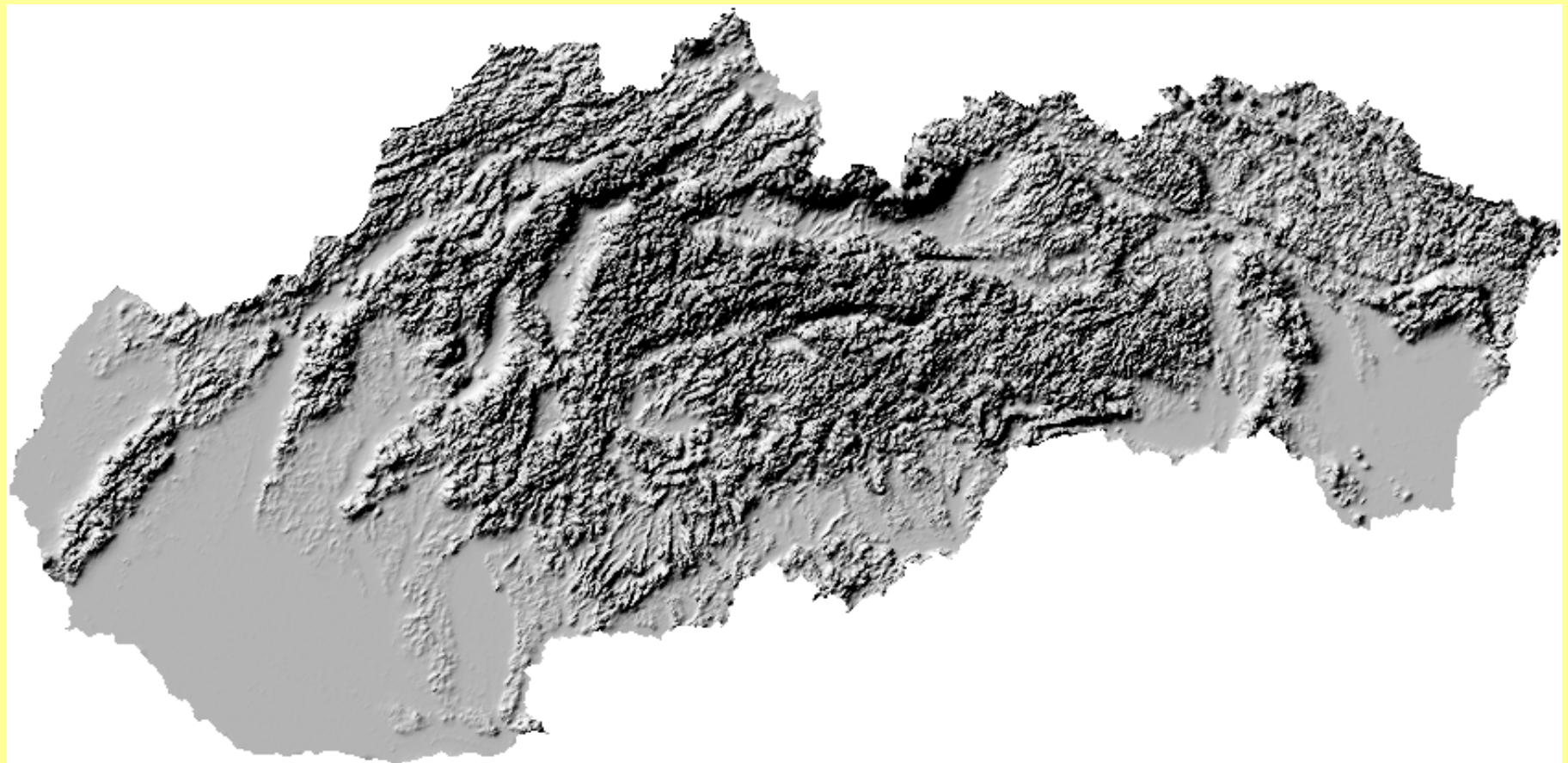
Štatistika vypočítaných terénnych korekcií pre územie SR (projekt „Bouguerove anomálie novej generácie...“, rok 2017)

	min.	max.	range	mean
zone T1	0	5.099	5.099	0.262
zone T2	0	27.744	27.744	1.159
zone T31	-0.001	11.397	11.398	0.423
zone T32	-0.197	5.974	6.171	0.097
zone T3	-0.196	17.258	17.454	0.653
total T	-0.195	40.733	40.928	2.072

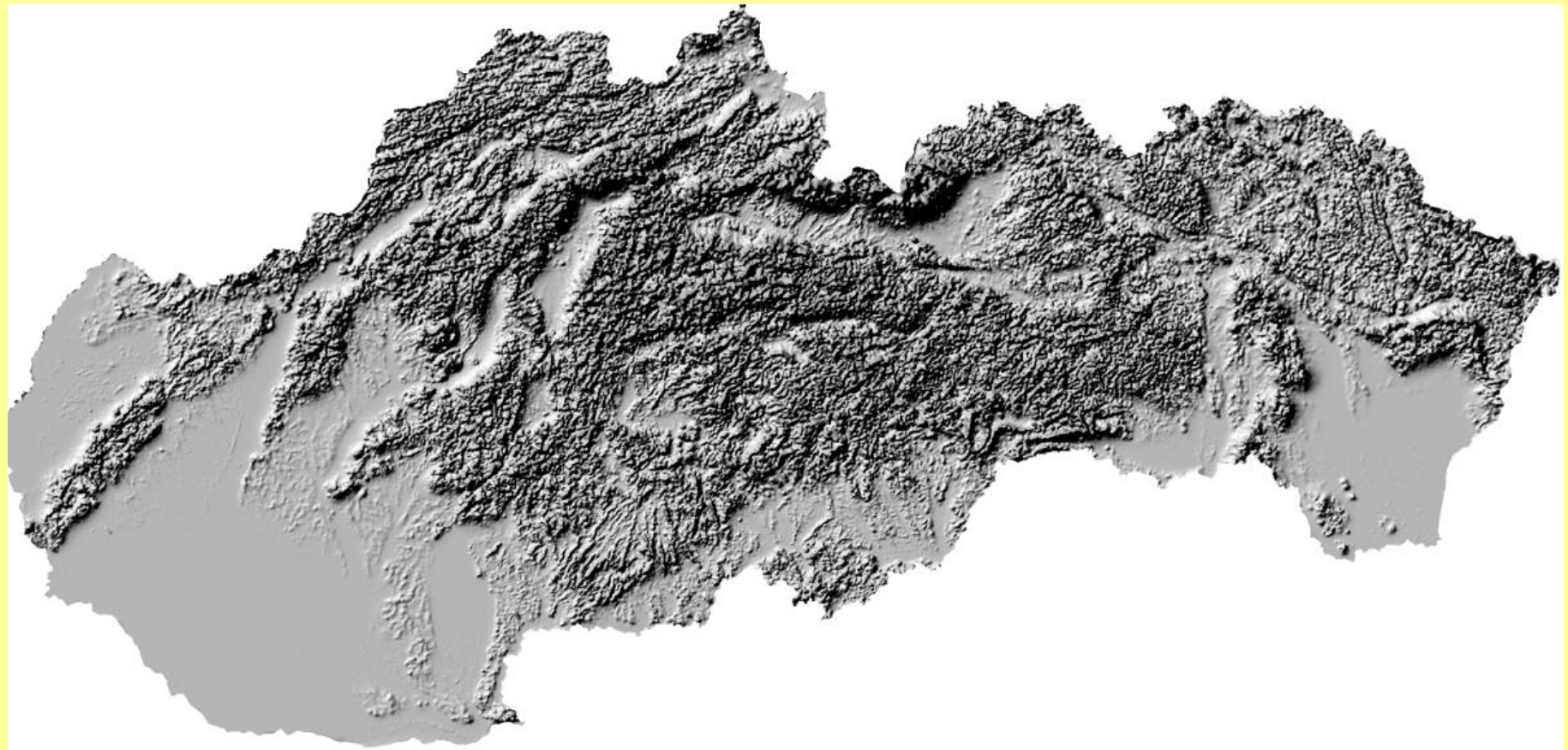
$T_1 + T_2$ (rok 1992)



$T_1 + T_2$ (rok 2000)

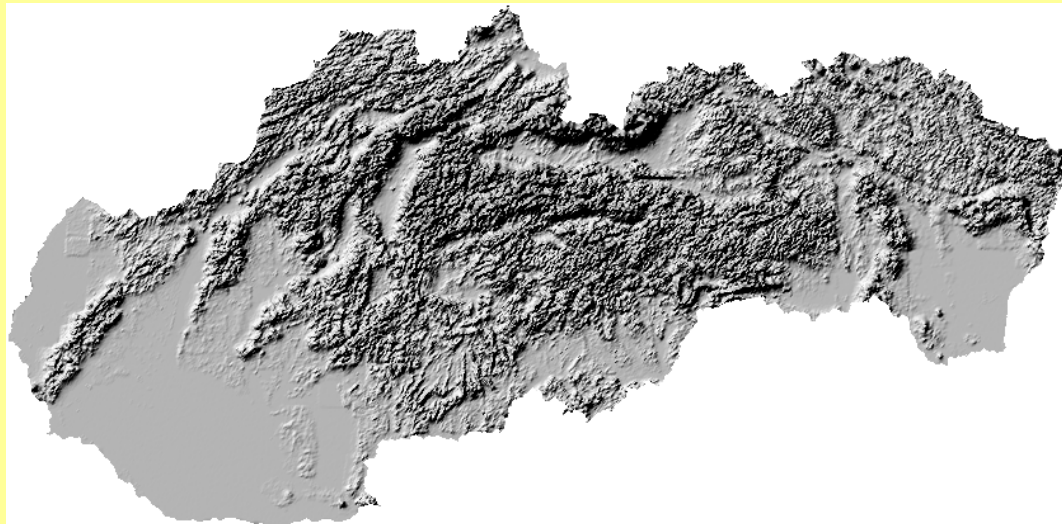


$T_1 + T_2$ (rok 2017)

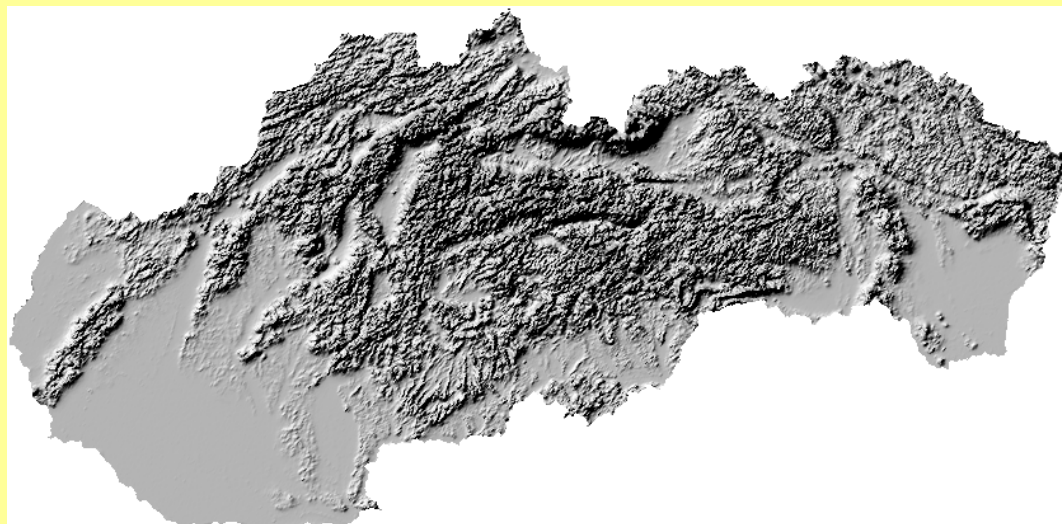


porovnanie „starých“ a „nových“ terénnych korekcií T₁ + T₂

1992

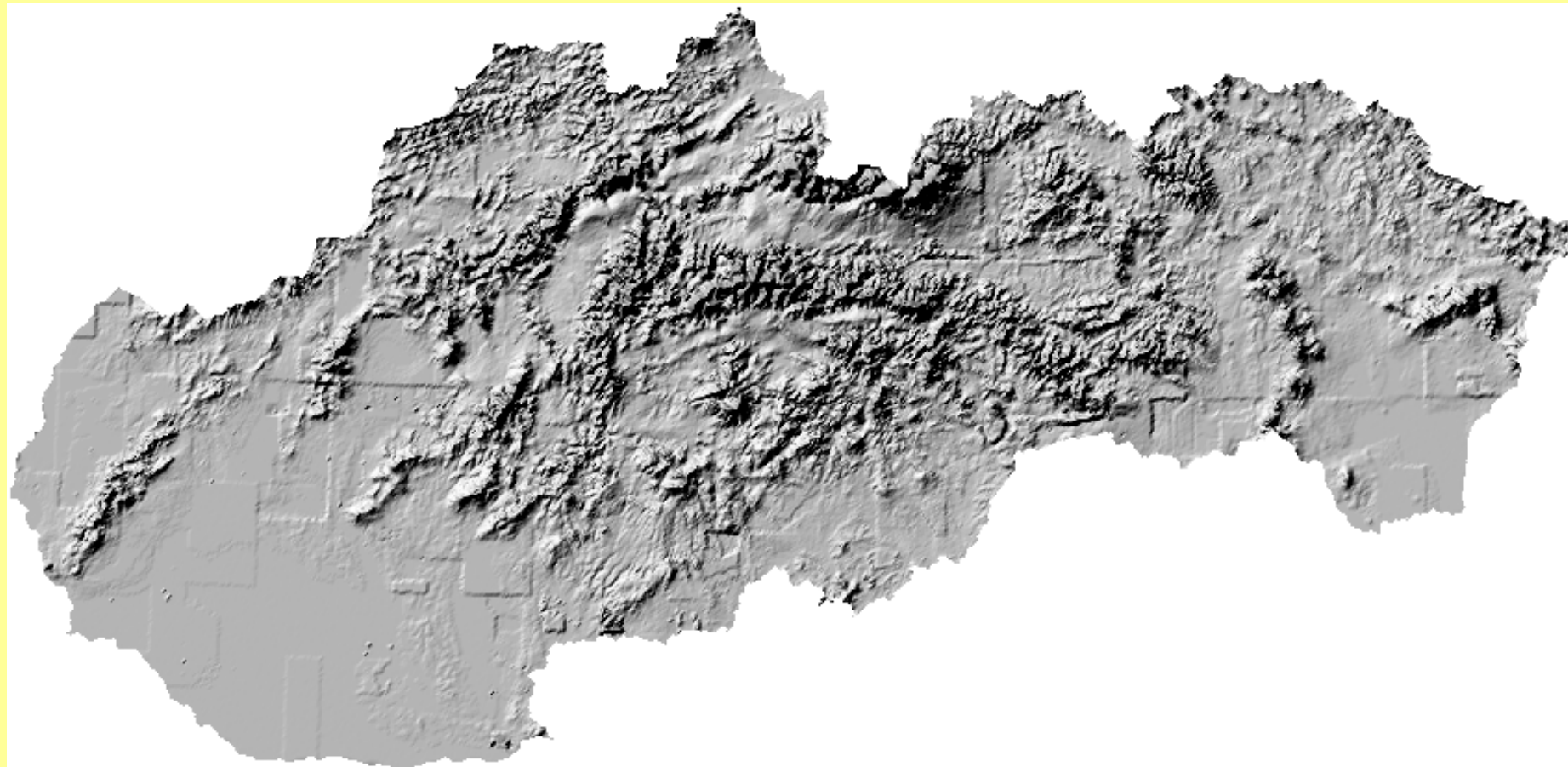


2000

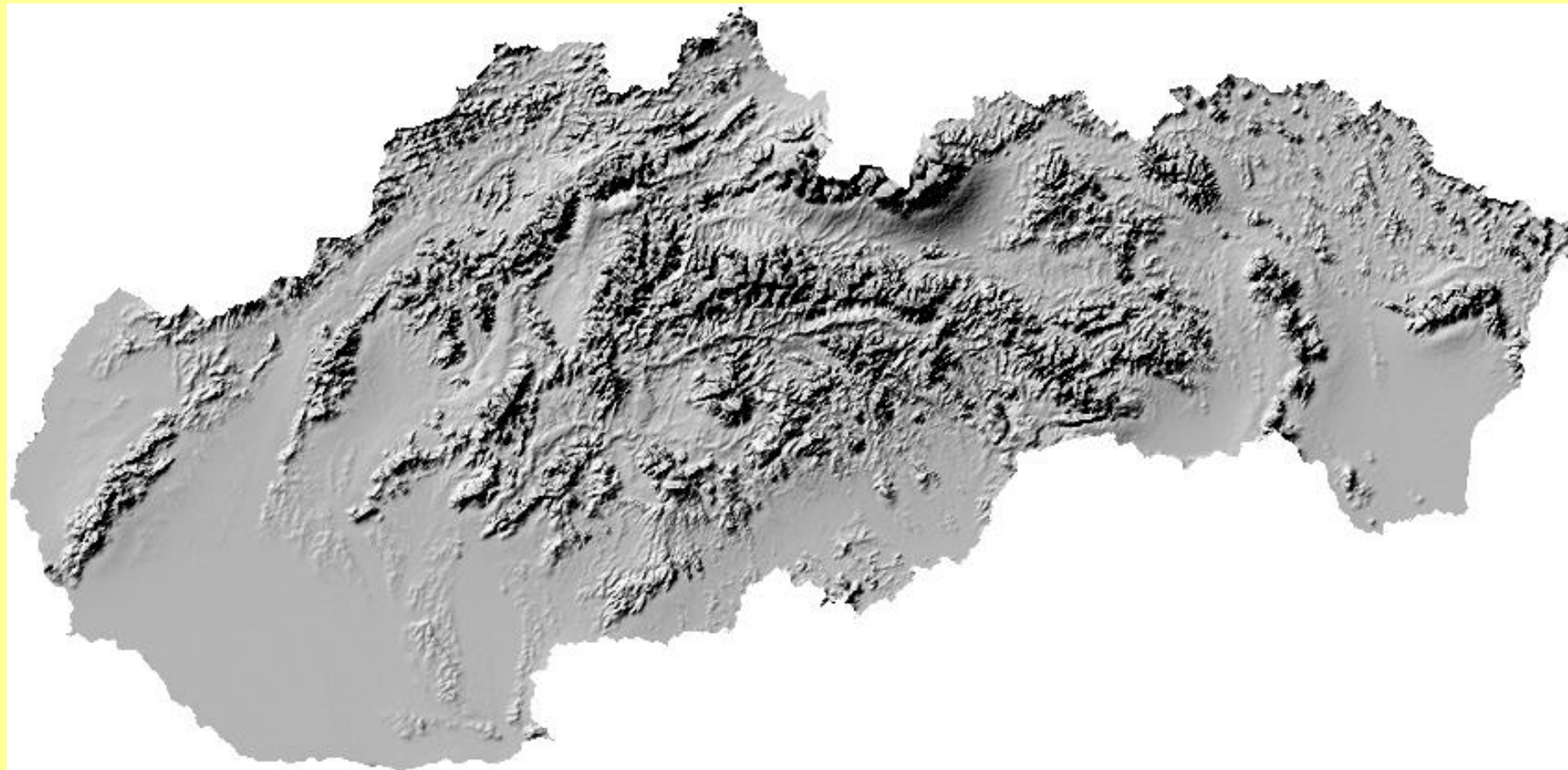


max. rozdiel: 3.6 mGal (pre 1.0 g.cm⁻³)

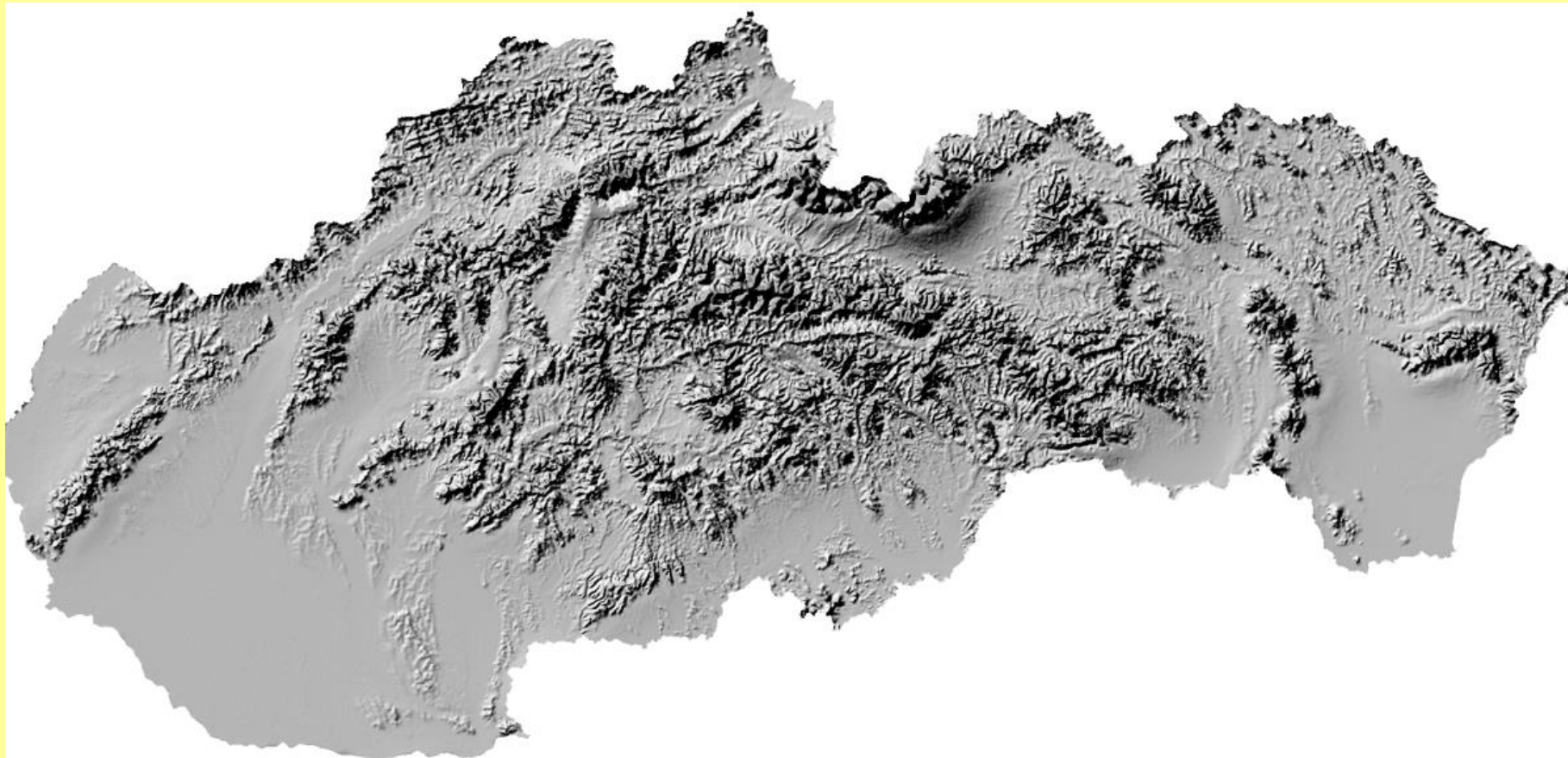
T3 (rok 1992)



T3 (rok 2000)

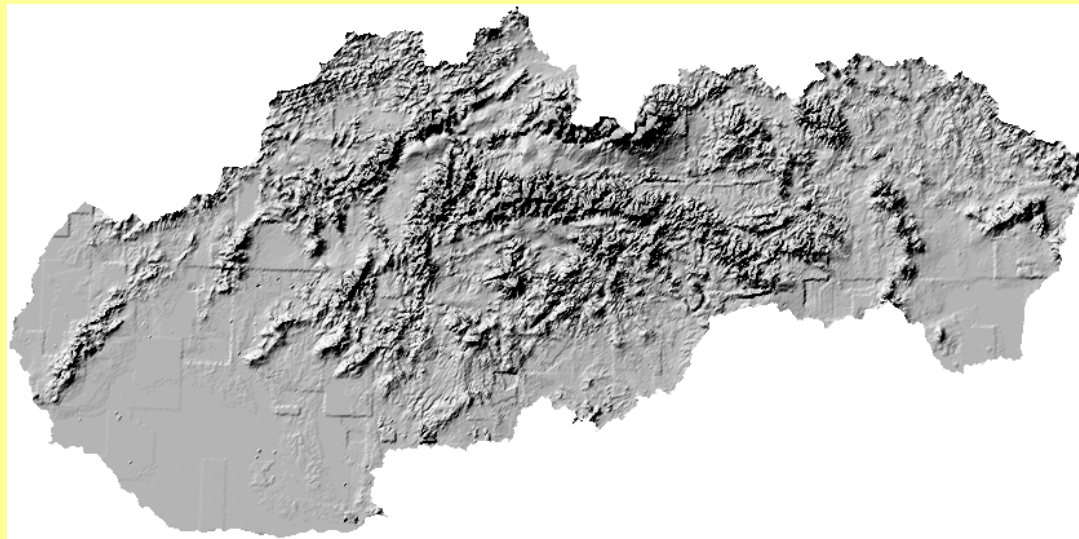


T3 (rok 2017)

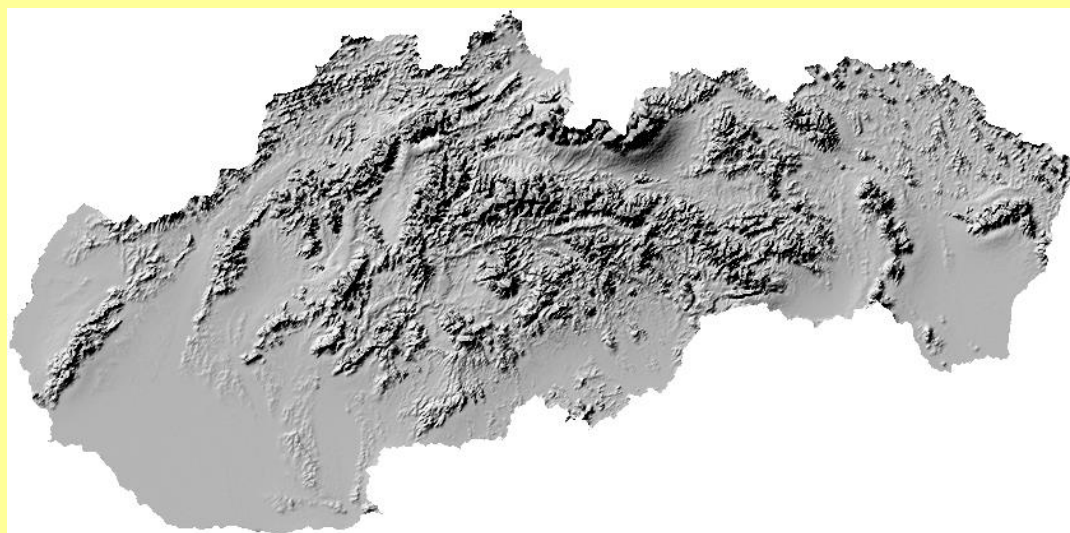


porovnanie „starých“ a „nových“ terénnych korekcií T3

1992

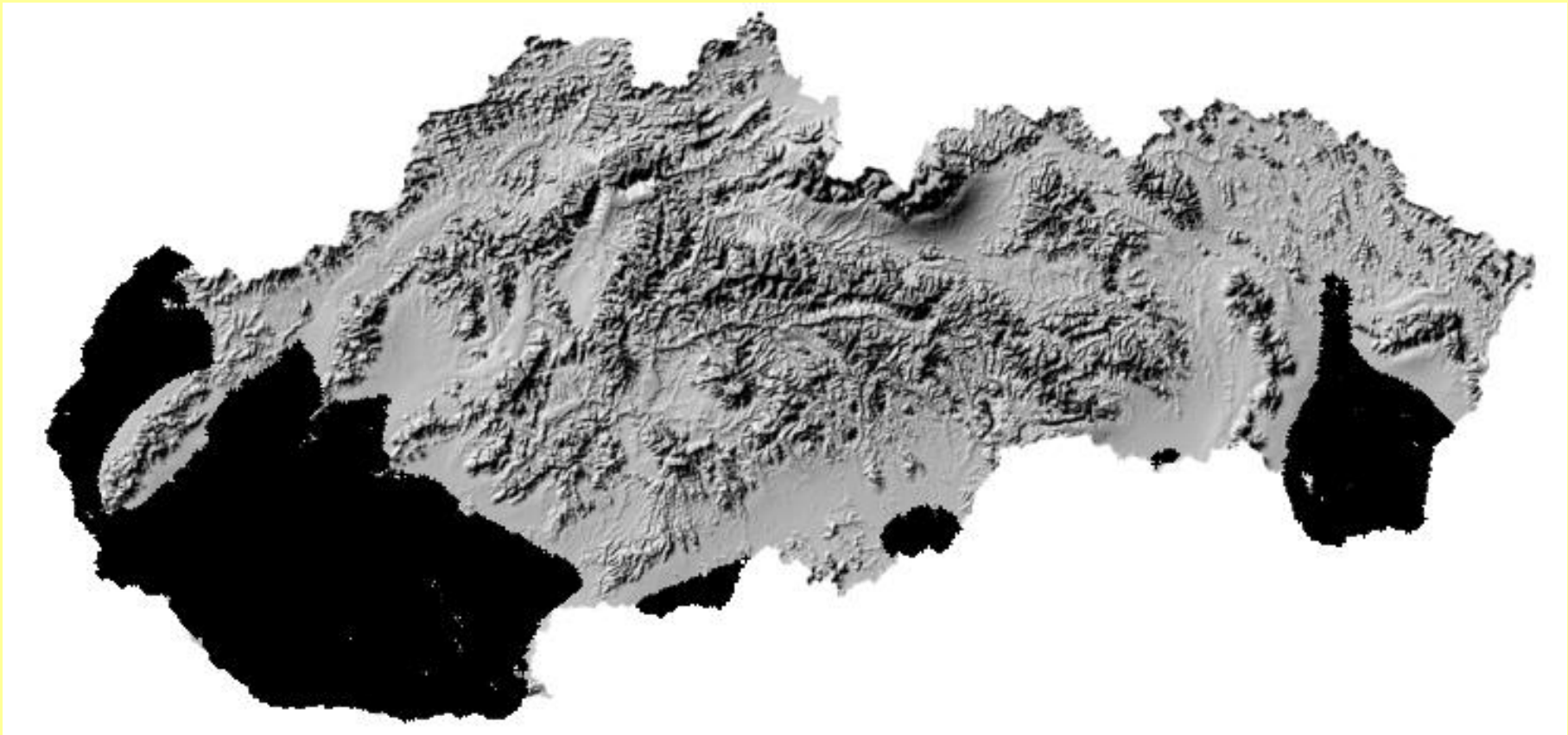


2000



max. rozdiel: 1.21 mGal (pre 1.0 g.cm^{-3})

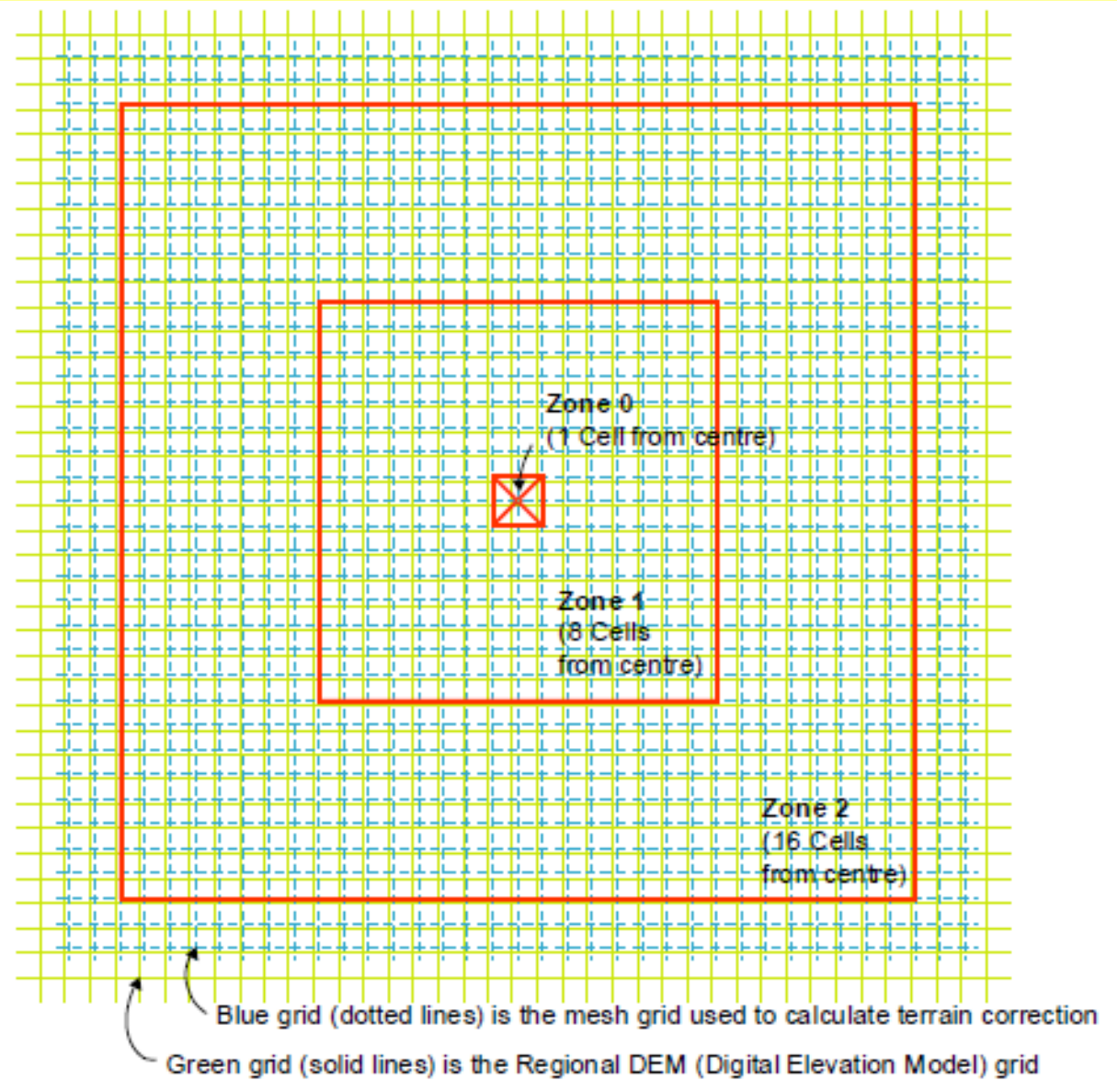
zaujímavosť – výskyt bodov so zápornými hodnotami
terénnych korekcií T3



zdroj:

projekt „Bouguerove anomálie novej generácie...“, rok 2017

spôsob GEOSOFT – Oasis montaj

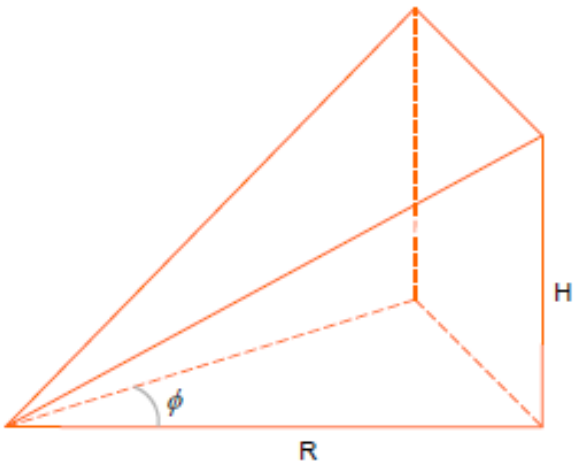


- 2 important areas:
- a) local area
(1000 m radius)
 - b) regional area
(regional grid size)
(maybe 167.735 km)

spôsob GEOSOFT – Oasis montaj

ZONE 0: SLOPED TRIANGLE

$$g = GD\phi \left(R - \sqrt{R^2 + H^2} + \frac{H^2}{\sqrt{R^2 + H^2}} \right)$$

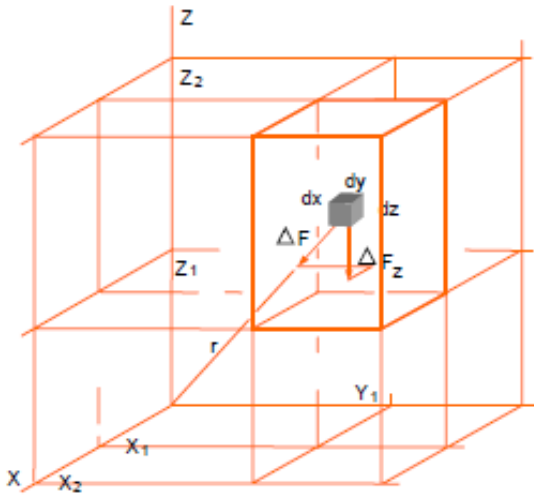


a) local area:

zone 0: sloped triangles,

ZONE 1: PRISM

$$g = -GD \left| \begin{array}{c|c|c} z_2 & r_2 & x_2 \\ z_1 & r_1 & x_1 \end{array} \right| x \cdot \ln(y + R) + y \cdot \ln(x + R) + Z \arctan \frac{Z \cdot R}{x \cdot y} \right|$$



zone 1: rectang. prisms,

spôsob GEOSOFT – Oasis montaj

ZONE 2 (AND BEYOND): SECTIONAL RING

$$g = 2GDA^2 \frac{(R_2 - R_1)\sqrt{R_1^2 + H^2} - \sqrt{R_2^2 + H^2}}{(R_2^2 - R_1^2)}$$

where,

g = gravity attraction

G = gravitational constant

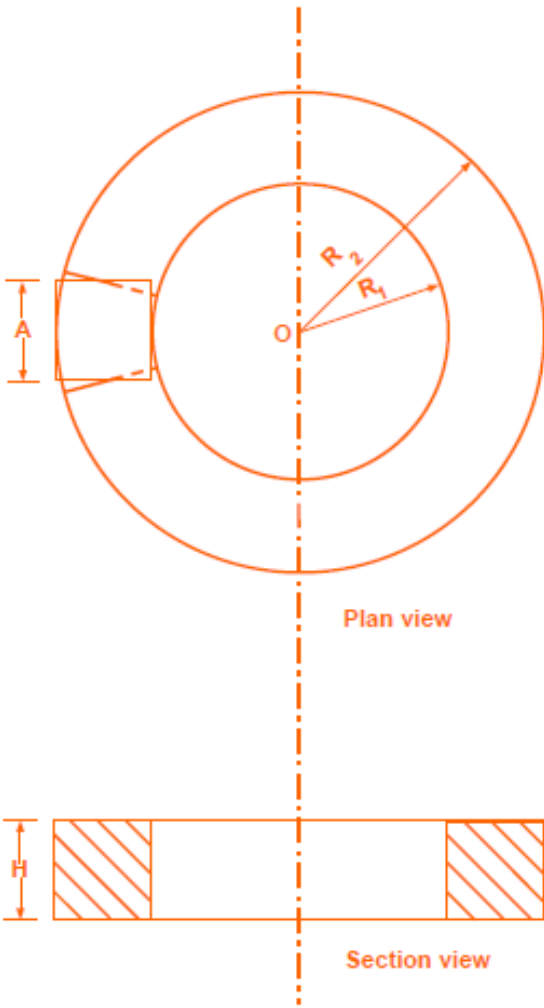
D = density

A = length of horizontal side of prism

R_1 = radius of inner circle of annular ring

R_2 = radius of outer circle of annular ring

H = height of annular ring or prism



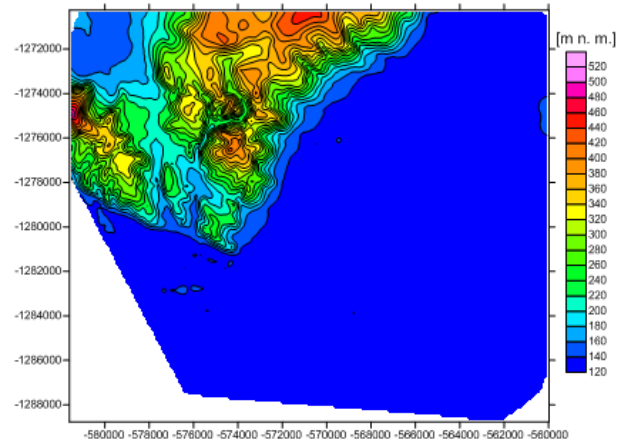
a) local area:
zone 2: sectorial ring

b) regional area:
interpolated from
a prepared regional
corrections grid... (?)

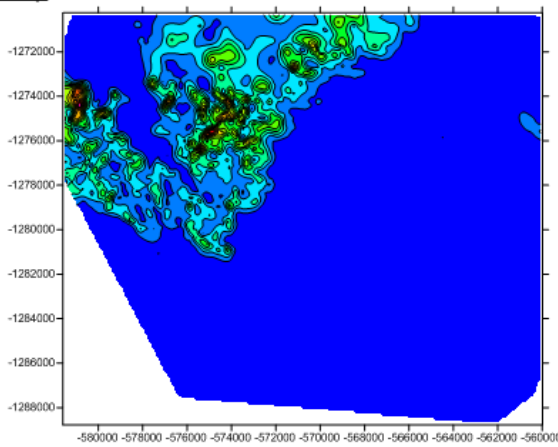
spôsob GEOSOFT – Oasis montaj

TOPOKOREKCIE T1 (do 250 m)

RELIÉF

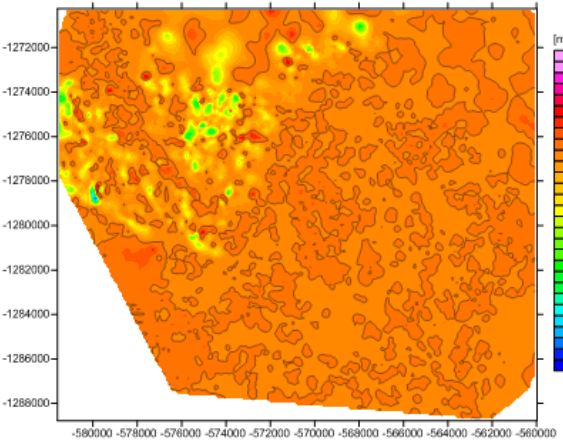


TOPO SK



ROZDIEL

TOPO SK - OASIS MONTAJ (P_T2)

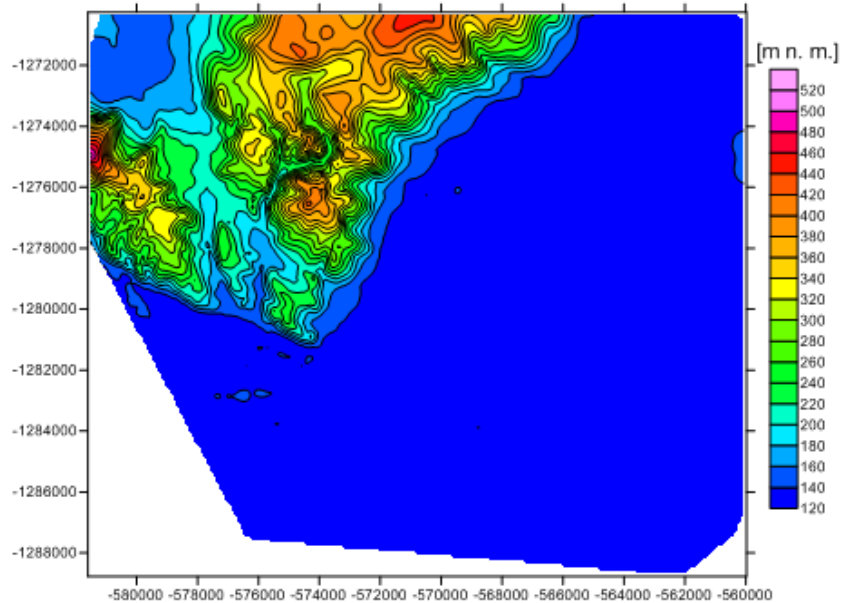


OASIS MONTAJ

T1 (0 – 250 m)

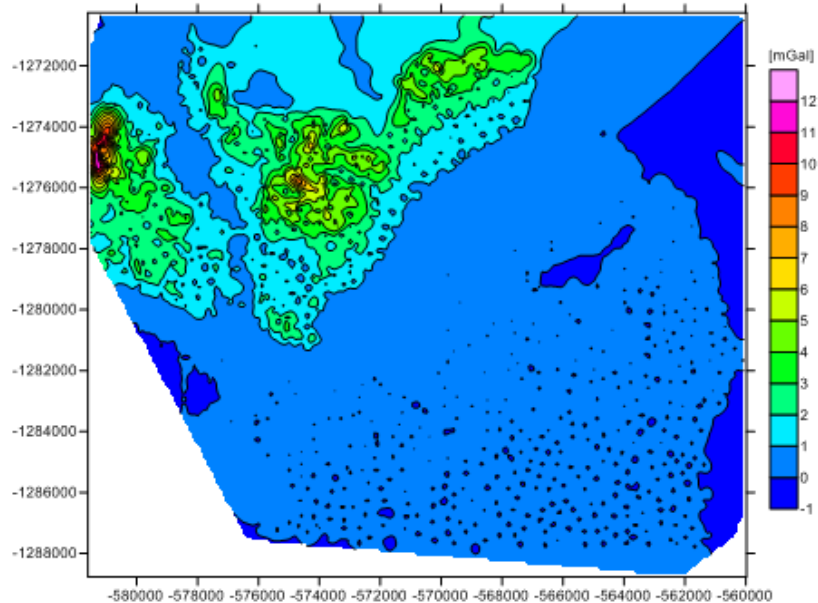
test – územie Bratislavы

RELIÉF

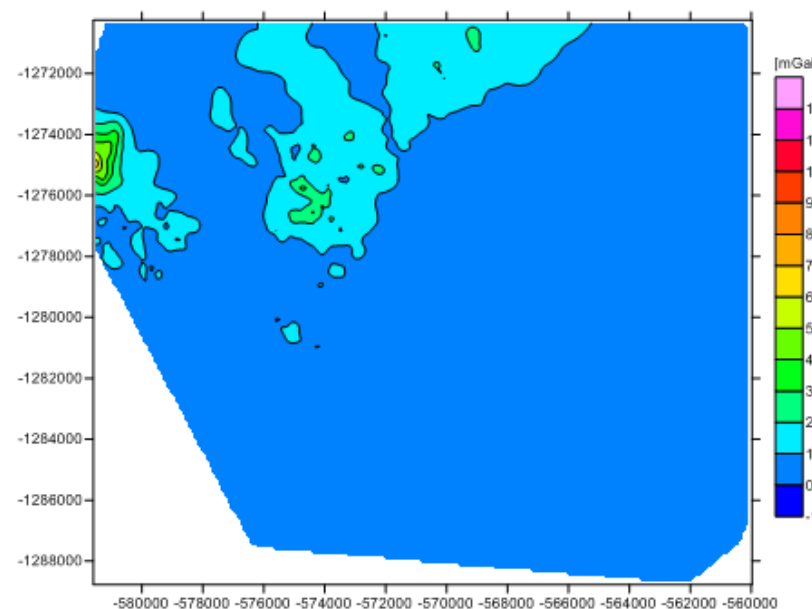


T2-T32 (250 m – 166.7 km)

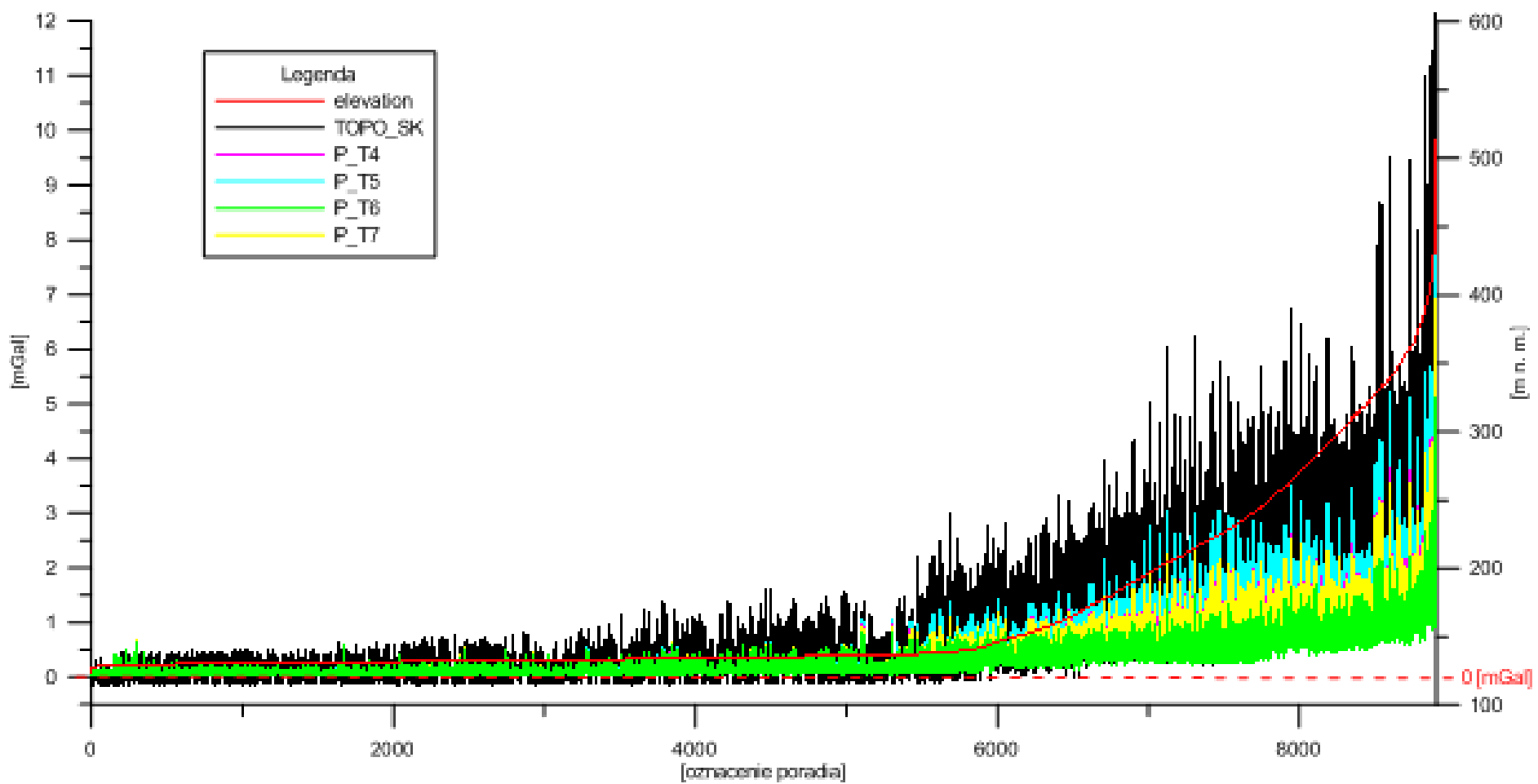
TOPO SK



OASIS MONTAJ



spôsob GEOSOFT – Oasis montaj



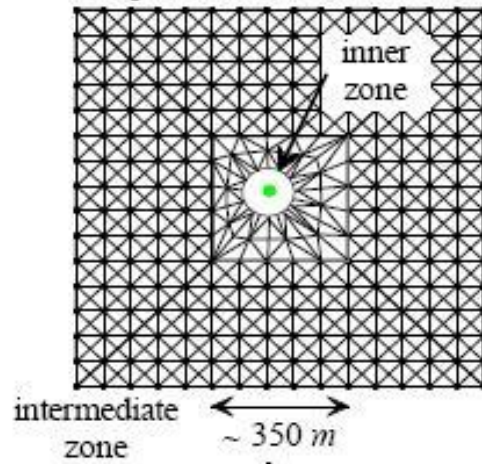
test – územie Bratislavky

T (0 m – 166.7 km)

zaujímavost': spôsob, používaný v Rakúsku

Combination of rectangular prism and polyhedron approximation

elevation of all triangle vertices
derived by bicubic spline
interpolation of the 50 m DTM



grid size 2

